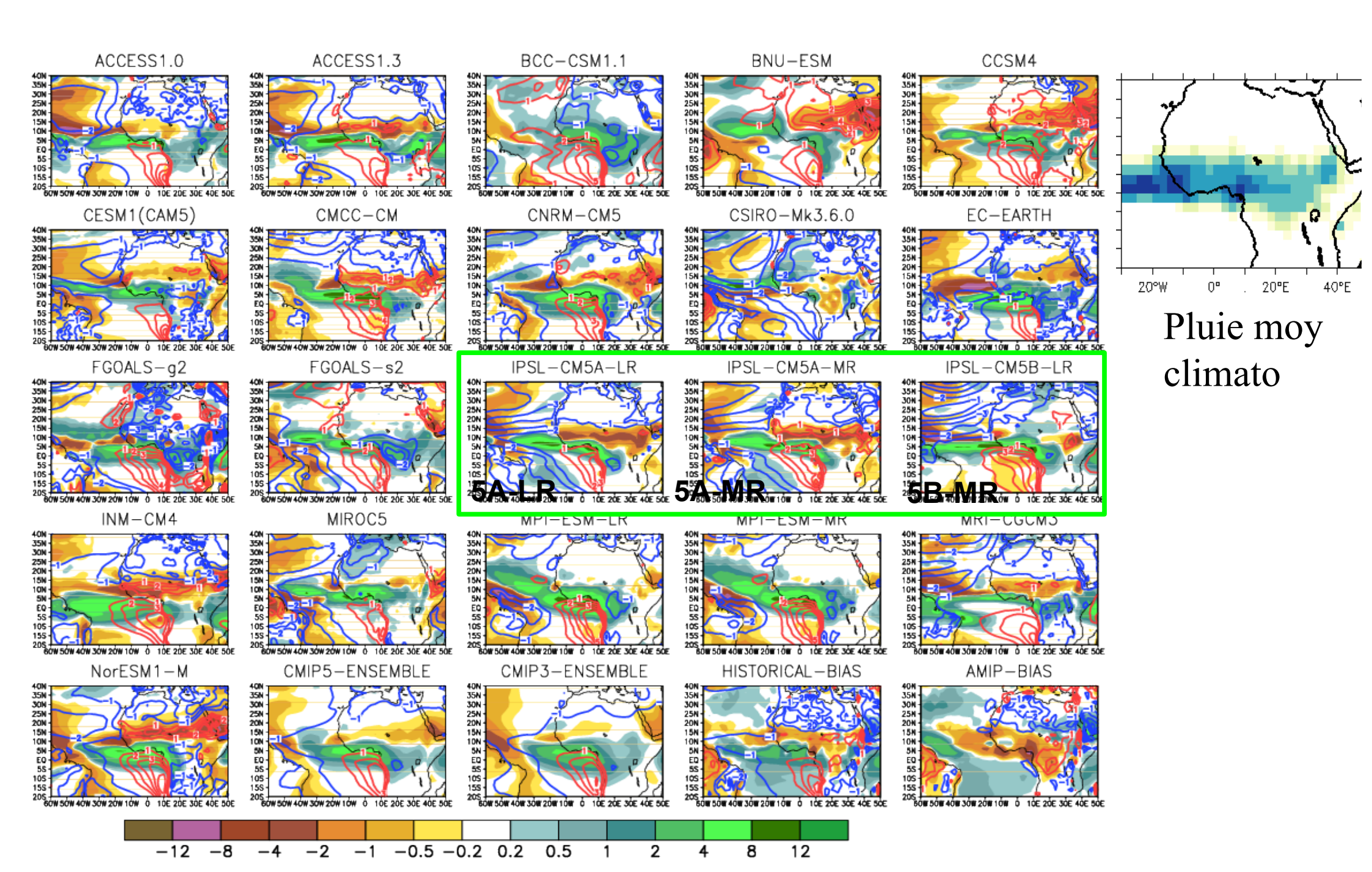
IPSL-CM5 dans CMIP5 au regard de la mousson Africaine

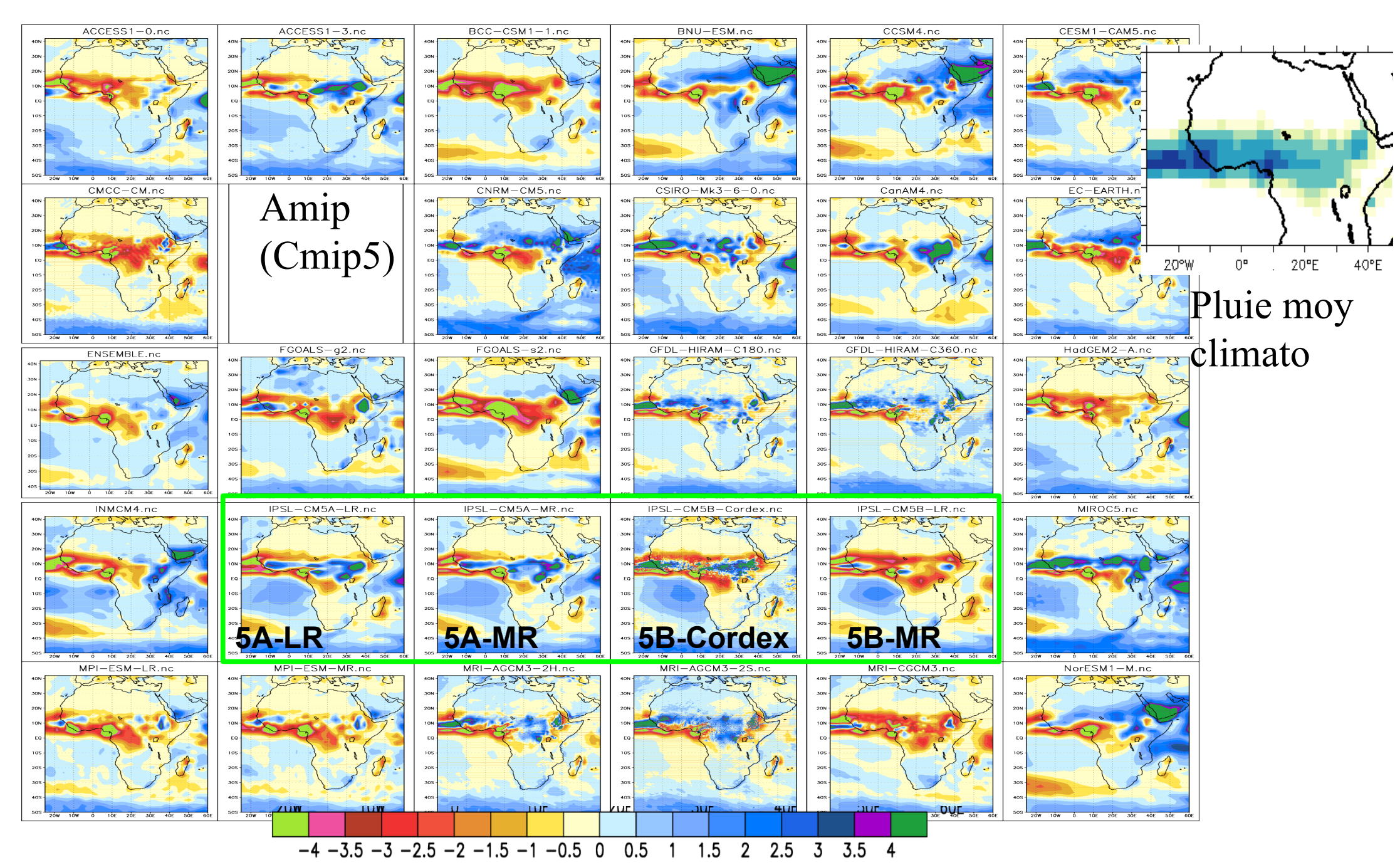
(beaucoup de résultats dans Roerhig et al., 2013)

- I. Distribution des pluies
- II. Flux radiatifs et nuages
- III. De CMIP5 à CMIP6 : enjeux et espoirs

Biais de température (quasi systématique) et leur effet sur la précipitation Différence historical-Amip : T2m (contours, K) et Précip (à plat de couleur, mm/j)



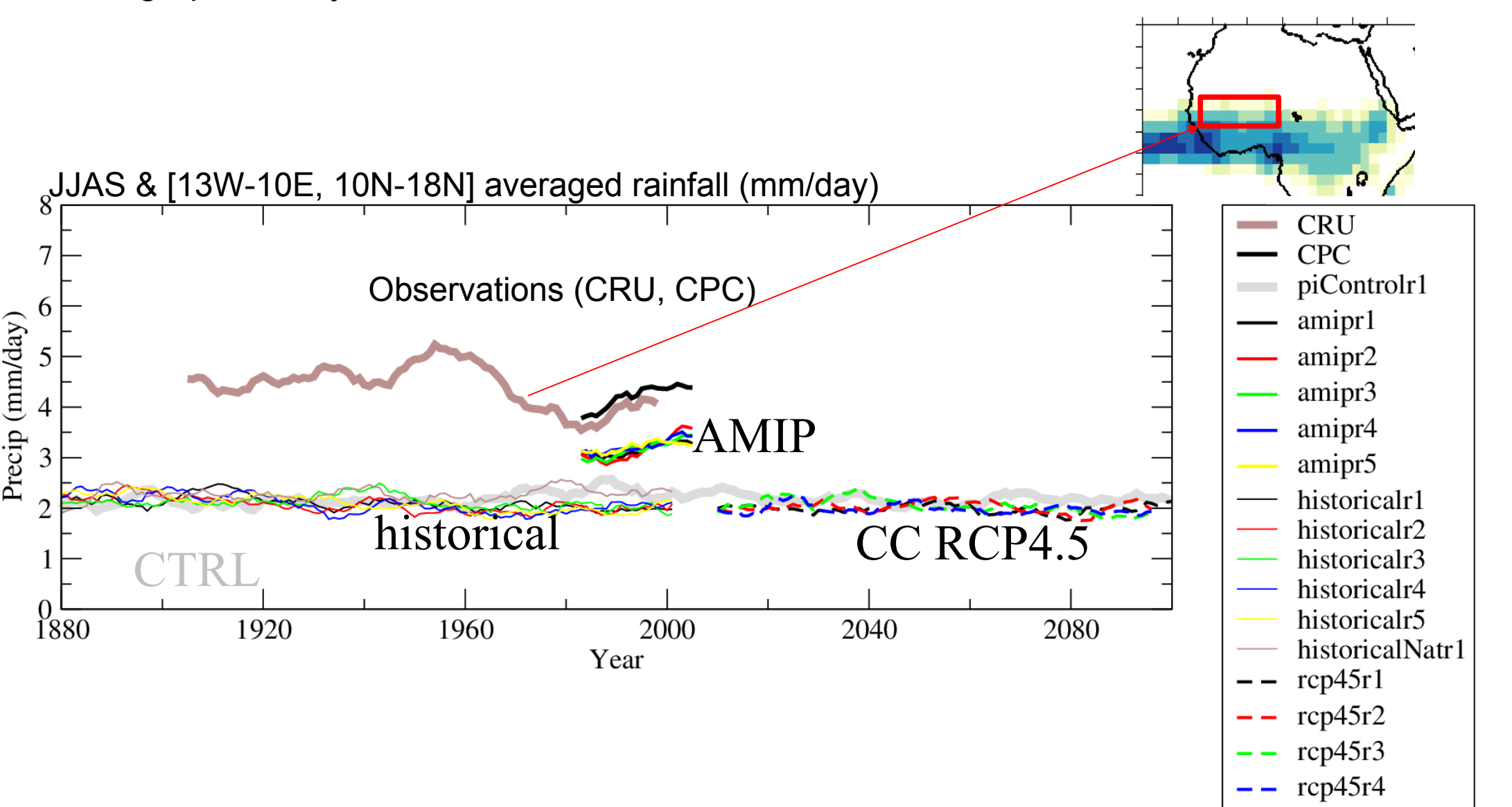
En forcé : des biais de précips très variables d'un modèle à l'autre Tendance à une ITCZ trop pincée en latitude avec LMDZ Fig : biais de précipitation moyenne (mm/j) dans les simulations AMIP

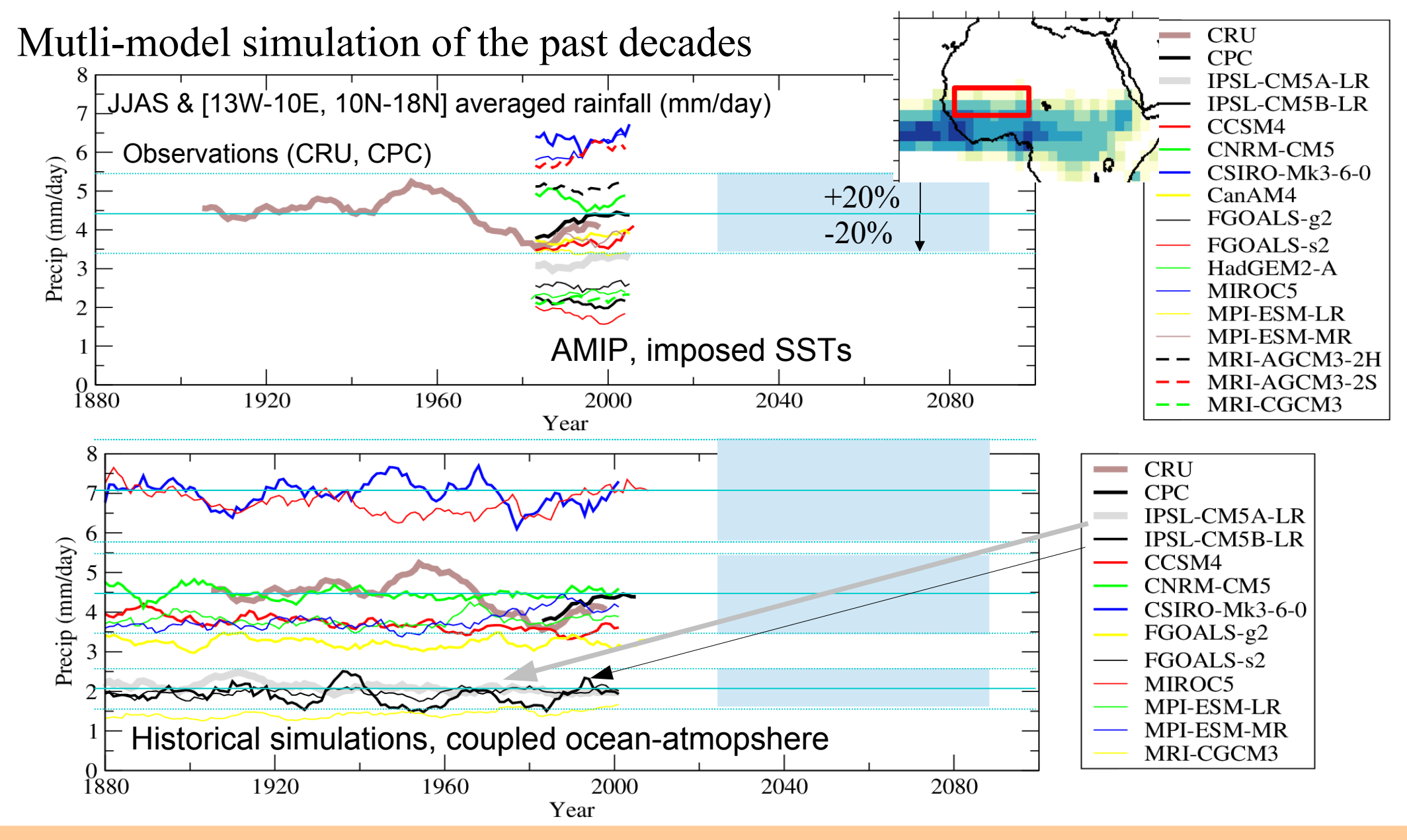


Une tendance à l'augmentation des pluies moyennes au Sahel sur les dernière décennies conforme aux obs dans les simulation Amip.

La moitié du signal dans la variabilité inter-membre de l'ensemble. Variabilité trop faible dans les historiques. Pas de tendance dans le futur.

Fig: pluie moyenne dans une boite Sahel avec IPSL-CMM5ALR

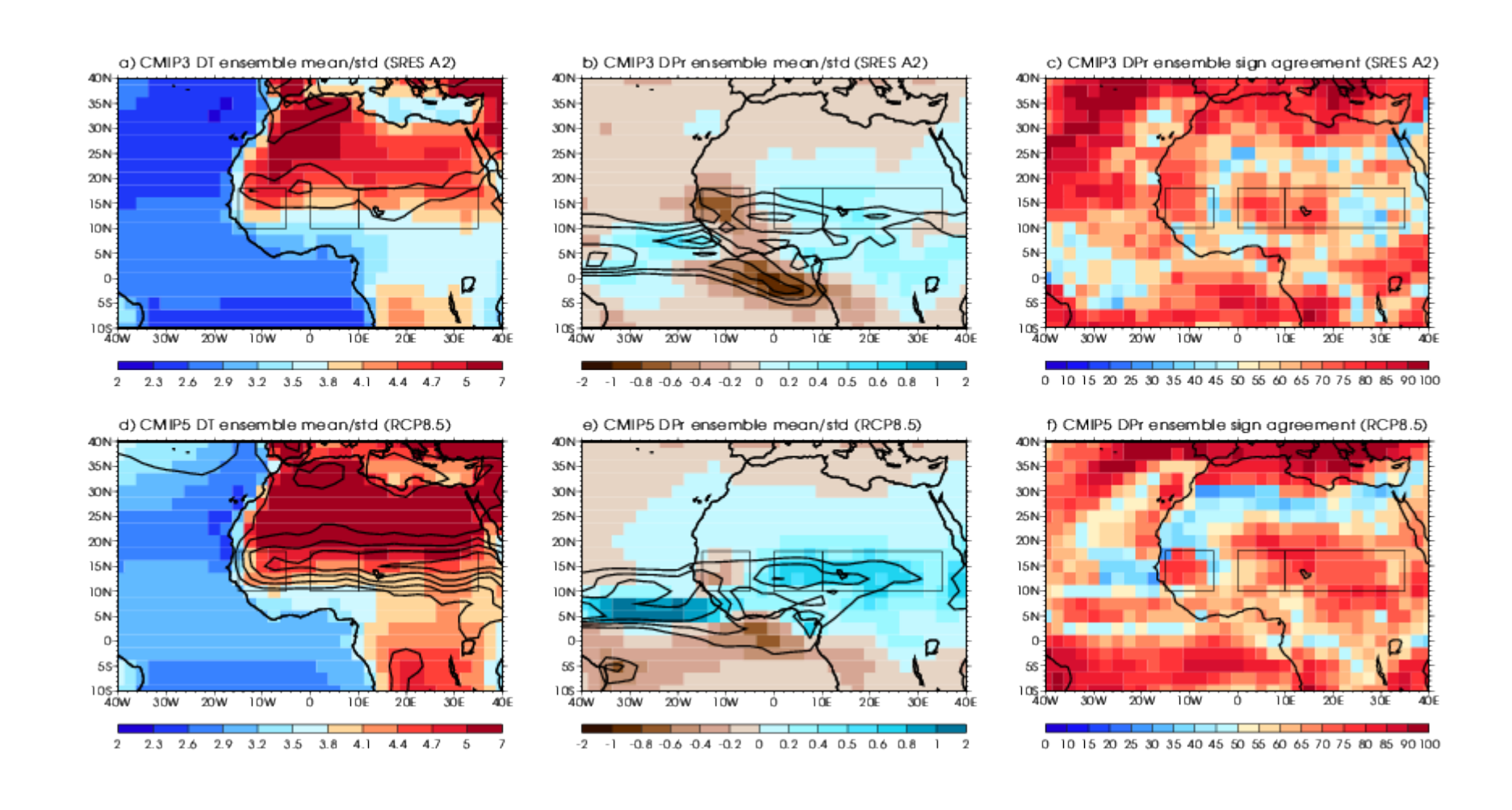




- → Simulations with imposed SSTs do not all show the late 1979-2009 recovery
- Coupled ocean-atmosphere simulations often underestimate the decadal variability
- Oscillations not in phase with observations (coupled ocean-atmosphere variability)
- → Need to assess the part of the decadal variations due to greenhouse gases increase

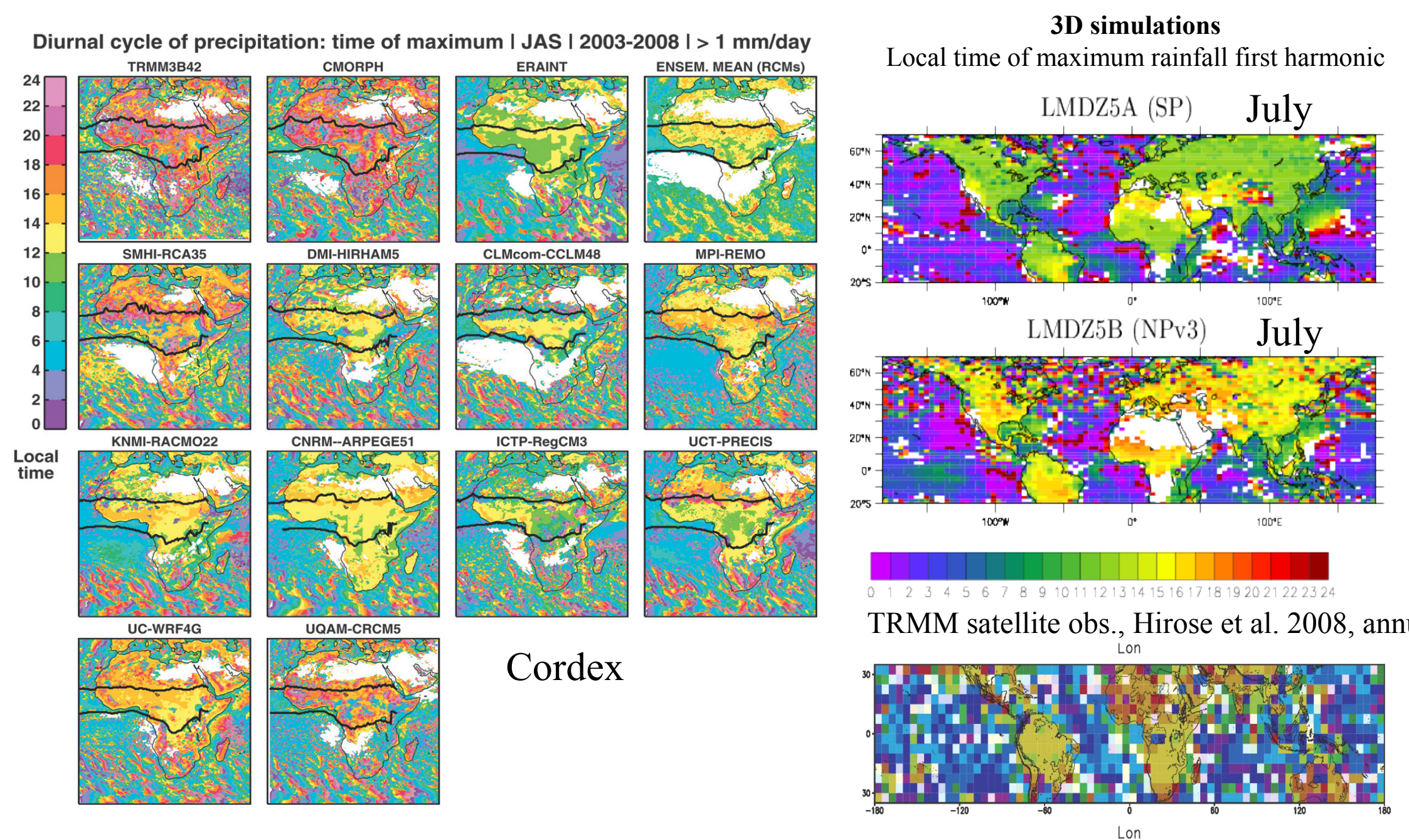
Une cohérence pas complètement absente entre les projections :

- → Modification relativement modérée des pluies (et un réchauffement fort !)
- → Dipôle Est-Ouest avec une augmentation des pluies vers le Lac Tchad
- → Un peu plus marqué dans CMIP5 que CMIP3



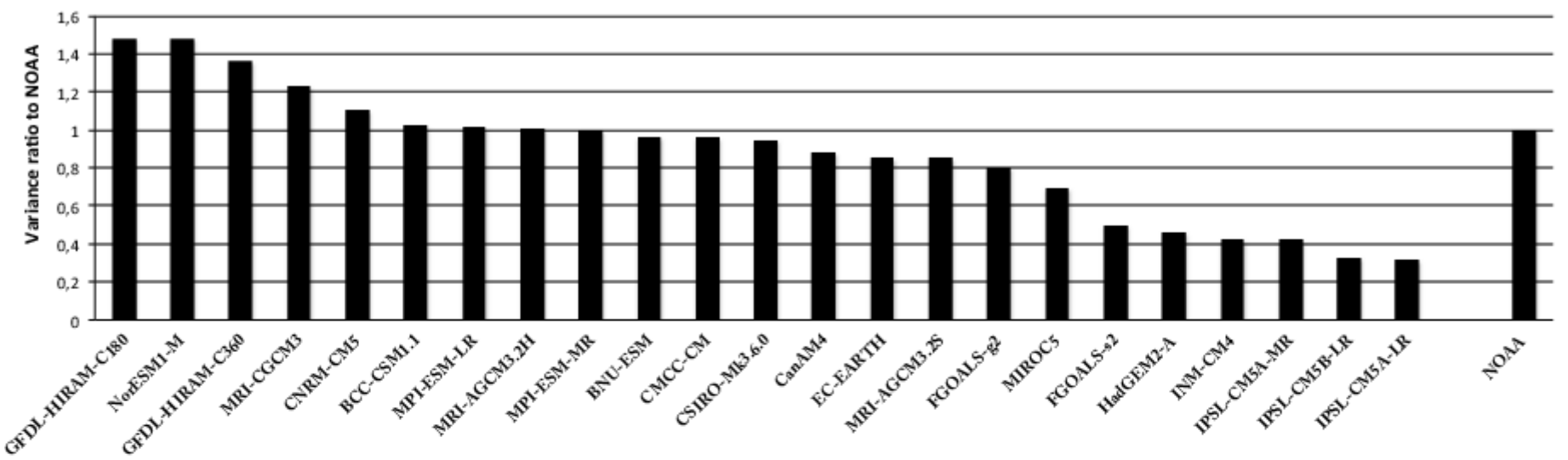
Cycle diurne des précipitations : max dans l'après midi avec la nouvelle physique

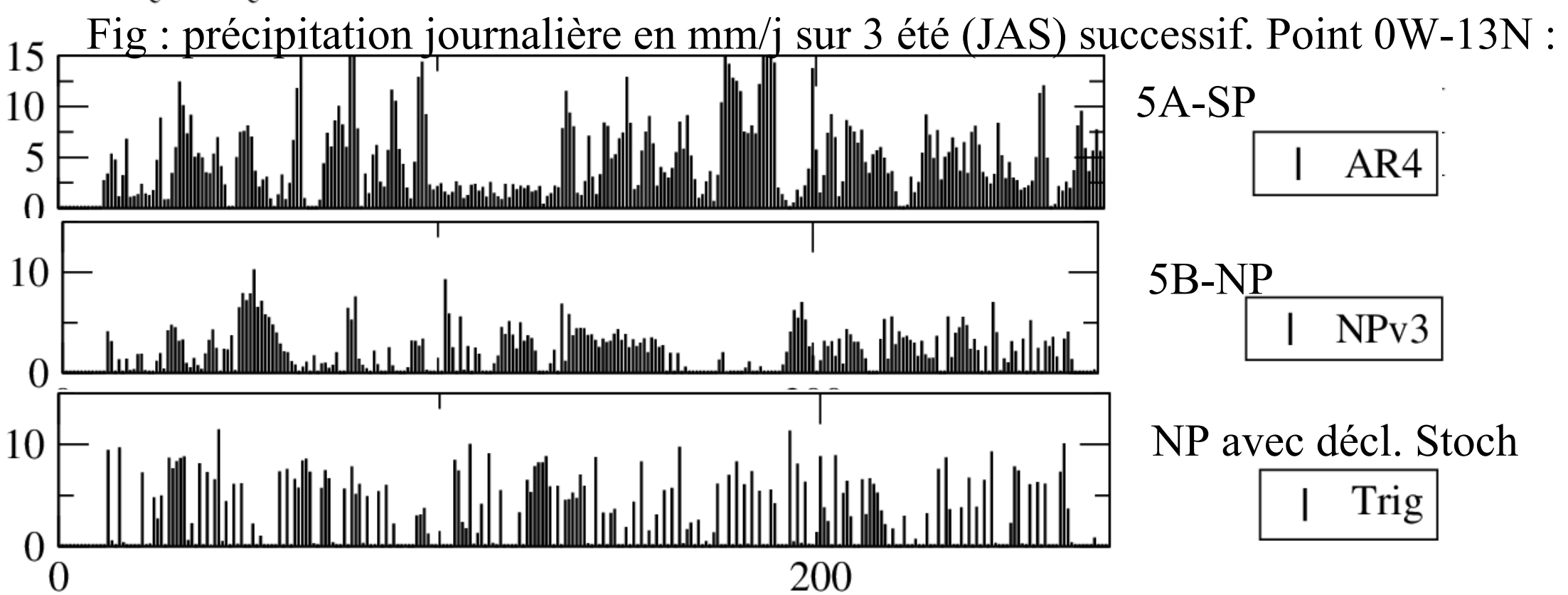
Fig : heure du maximum de précipitation

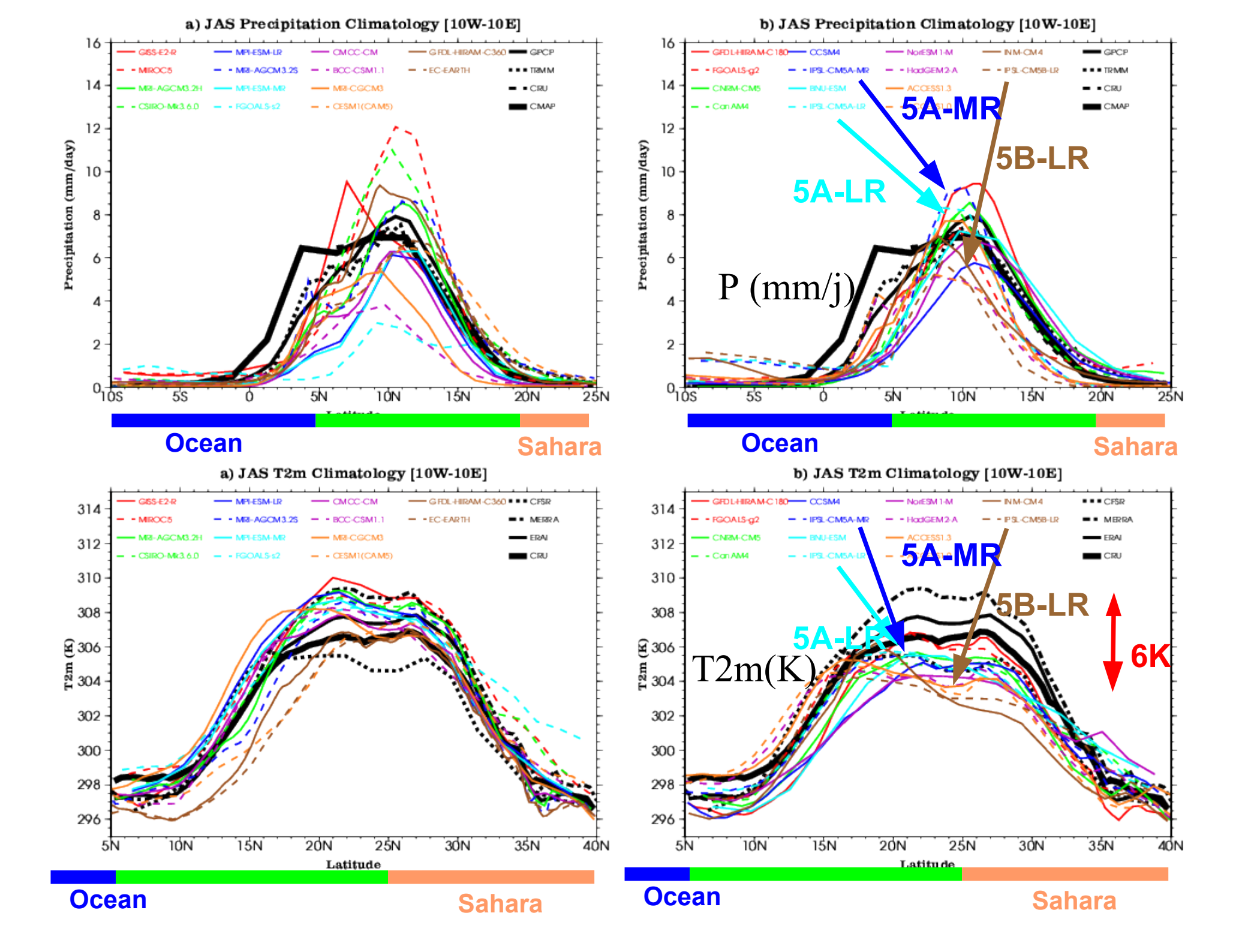


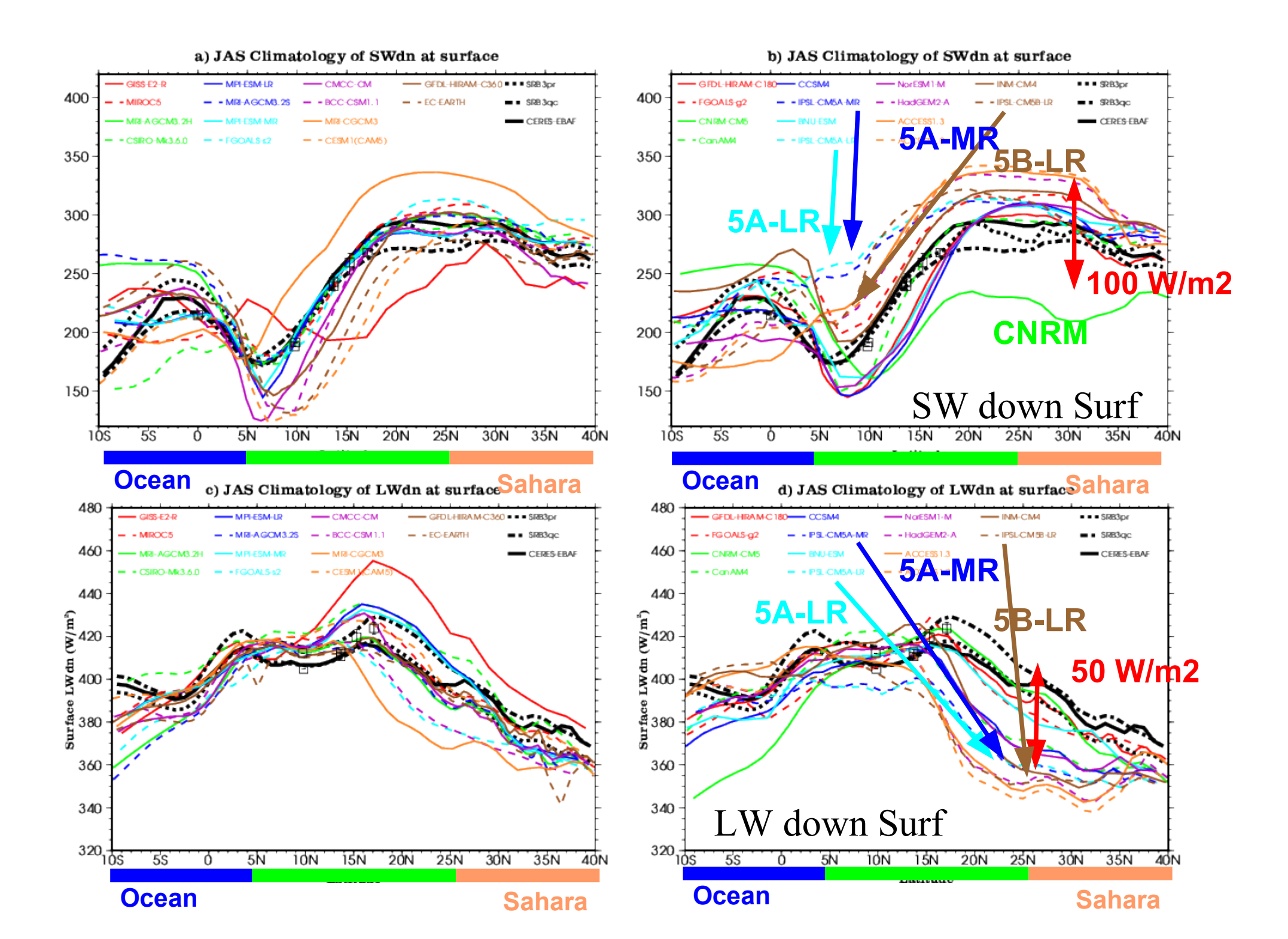
Une variabilité intra-saisonnière ... pitoyable, mais ...

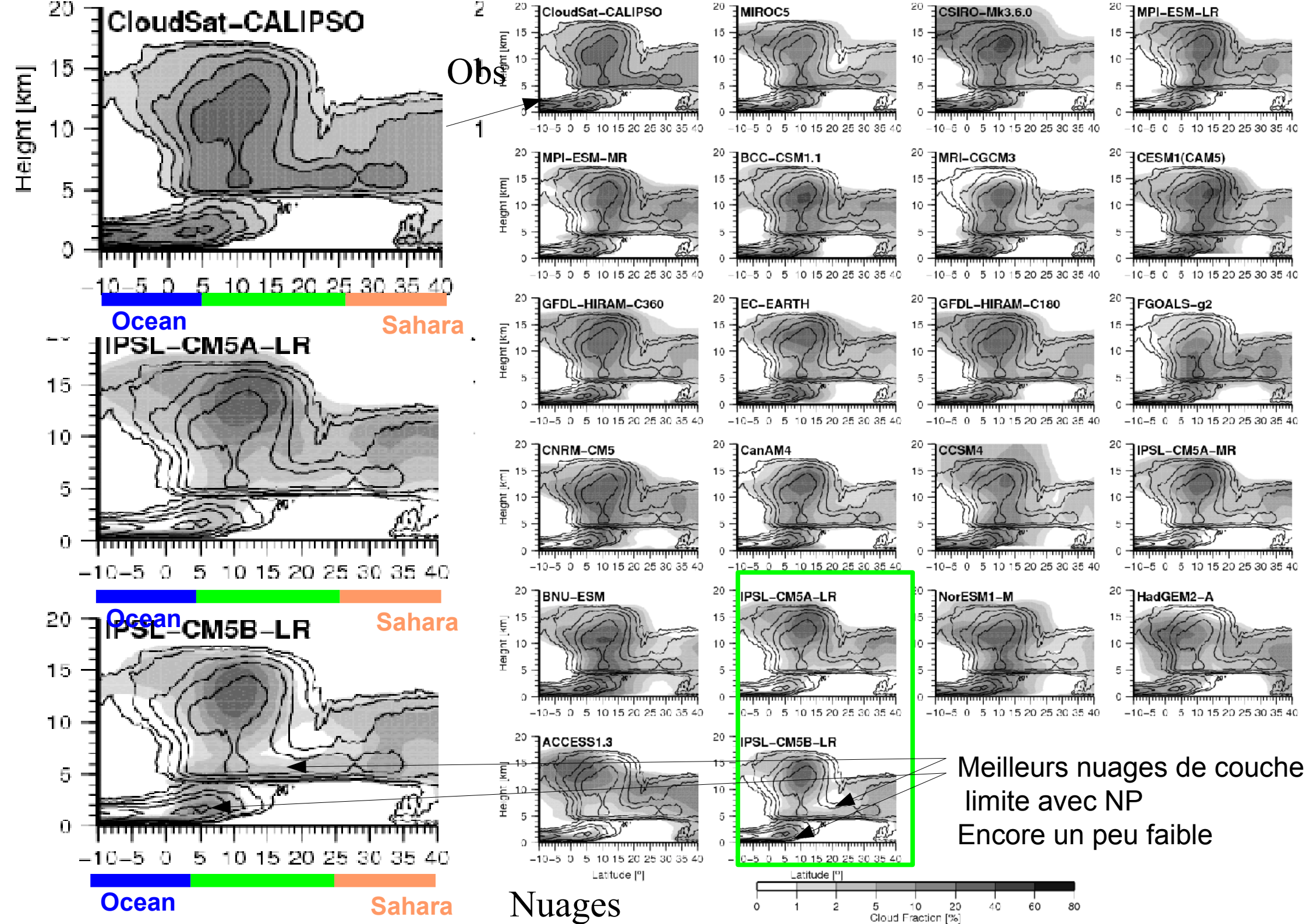
a) Ratio of model OLR intraseasonal variance to that of NOAA OLR [5N-20N, 10W-10E]











Conclusions, enjeux et espoirs

Distribution des précipitations

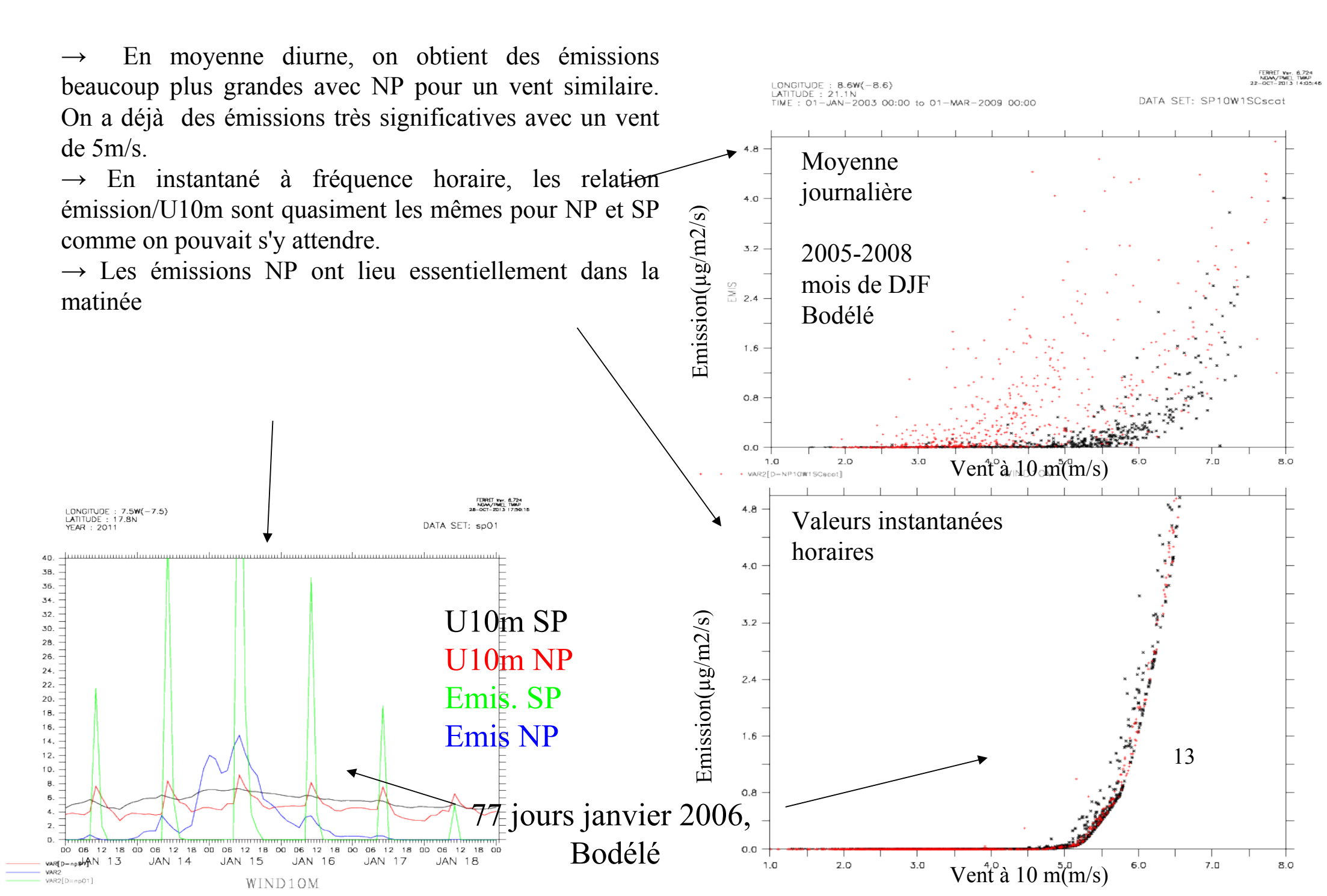
- → Résoudre le problème des biais chauds océaniques (post doc preface)
- → Améliorer la distribution moyenne des pluies dans les simulations forcées
- → Comprendre ce qui contrôle le cycle saisonnier (thèse Binta)
- → Trop faible variabilité intra-saisonnière. Arrivée du stochastique
- → Faiblesse des variations décennales dans le modèle couplé. Pourquoi ?
- → Rôle relatif des rétroactions locales et de la grande échelle dans les changements climatiques (post doc L-IPSL)

Flux et températures

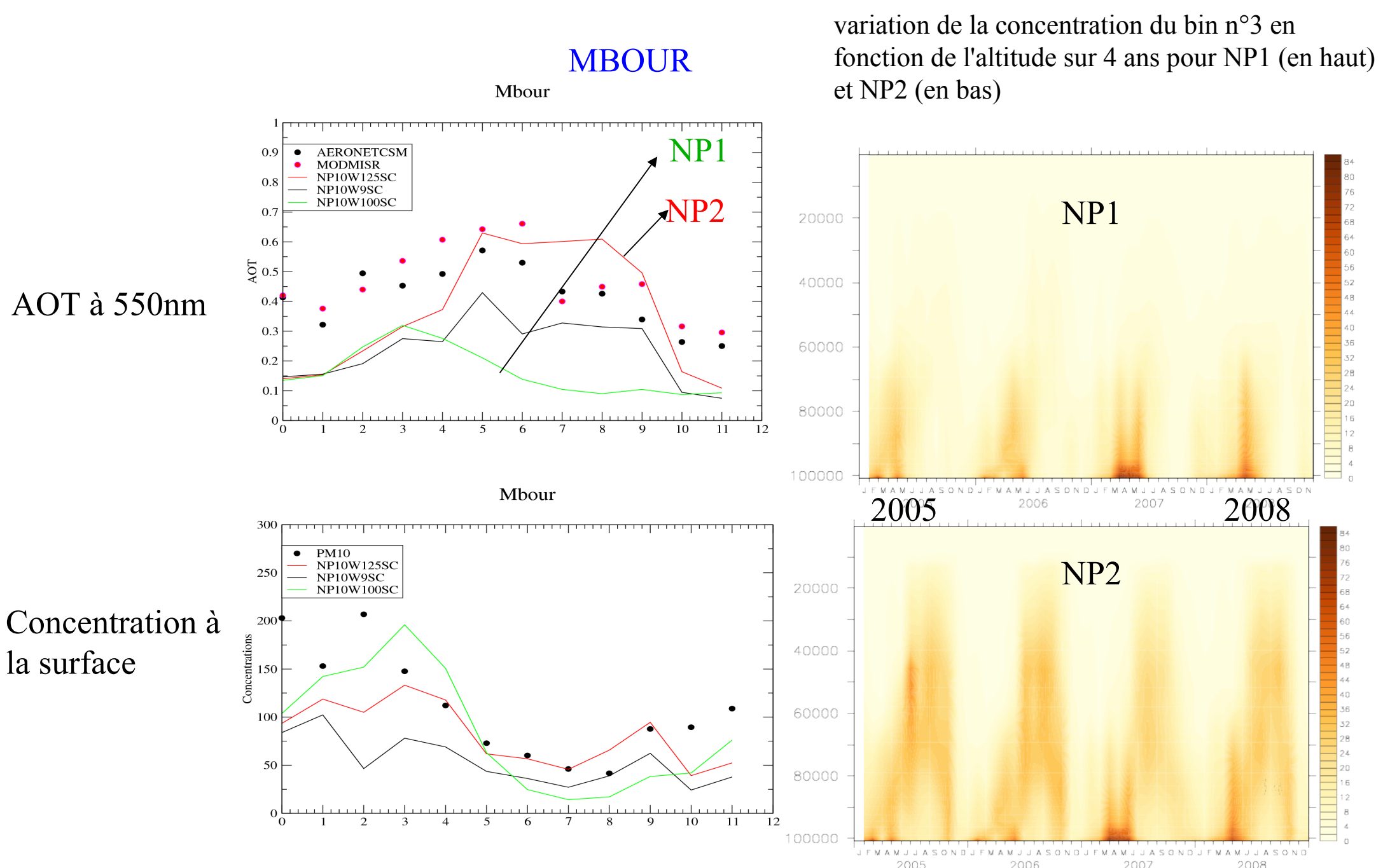
- → Améliorer la représentation des flux ciel clair. Attention à l'arrivée de RRTM, les aérosols, l'albedo de surface ... (post doc Sunghye).
- → Meilleure représentation des forçages radiatifs des nuages. La convection stochastique est favorable car laisse davantage de « place » aux thermiques.
- → Amélioration des flux turbulents en surface (orchidee, conduction thermique dans le sol, splitting de la couche limite, thèse Sonia, post-doc Fuxing).

Apport de la nouvelle physique pour le soulèvement des poussières.

III. Analyse des différences NP/SP

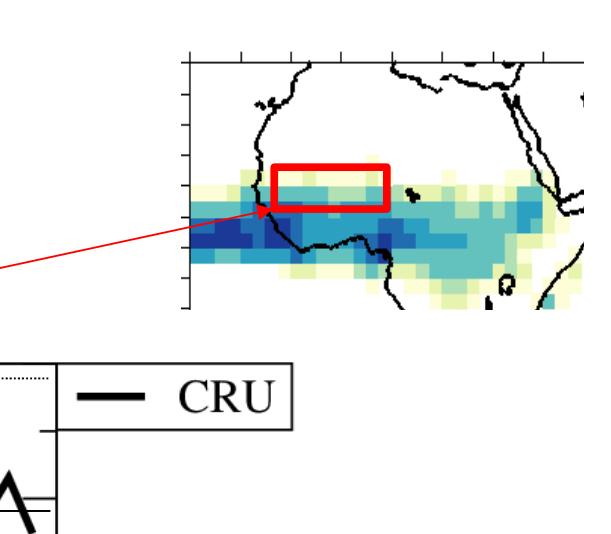


IV. Prise en compte des bourrasques associées aux poches froides

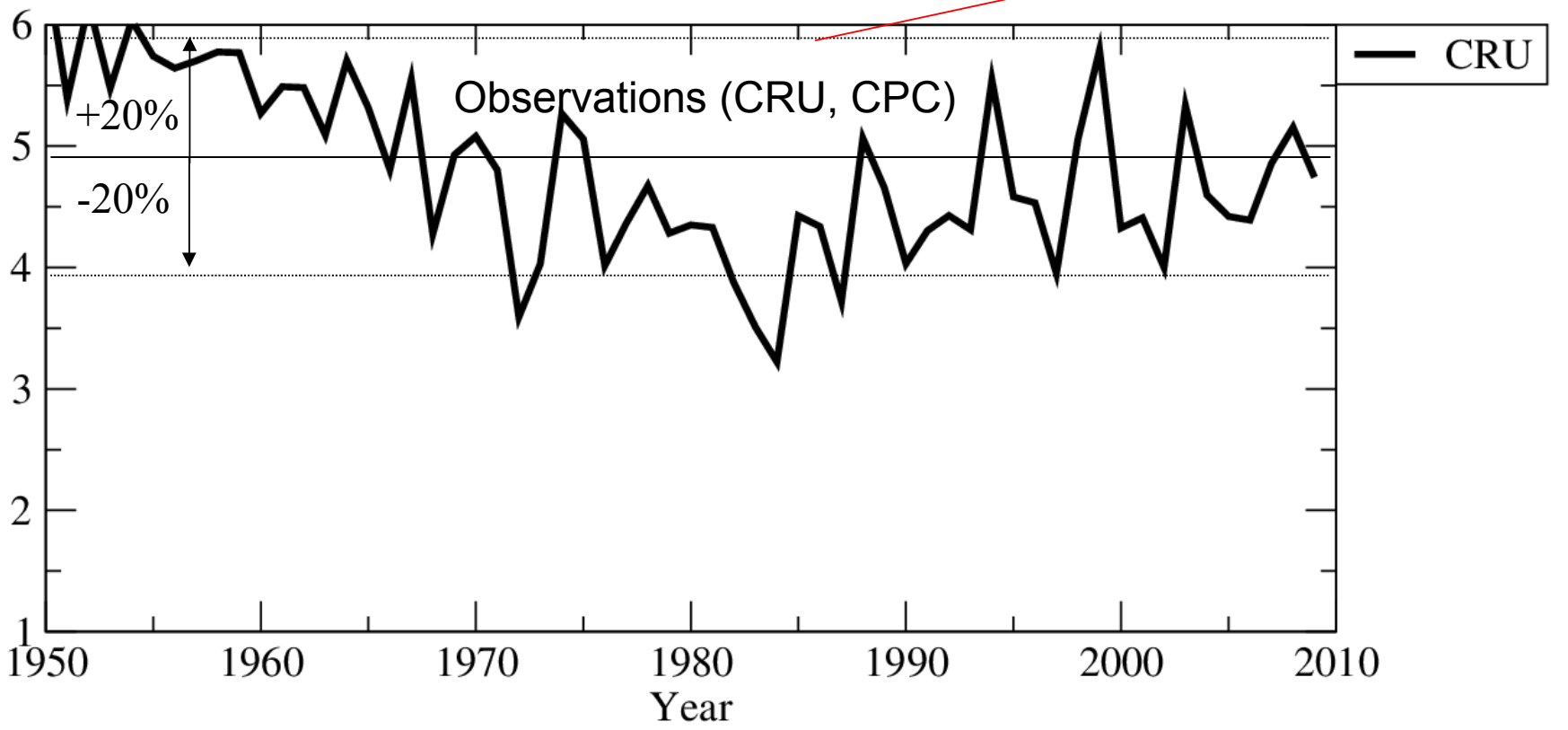


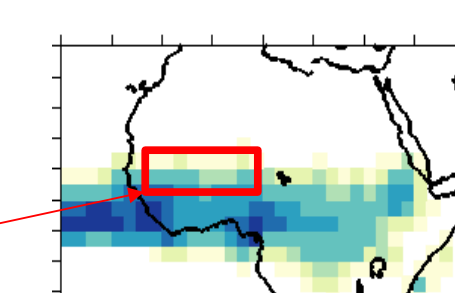
<u>Figure</u>: Cycle saisonnier moyen des poussières sur la période 2005 à 2008. En haut, l'AOT à 550nm, issus de Aeronet(points noirs), de MODIS-MISR(points violets), les courbes lisses représentent les simulations avec différentes configuration de la NP.

3. Variations décennales des précipitations

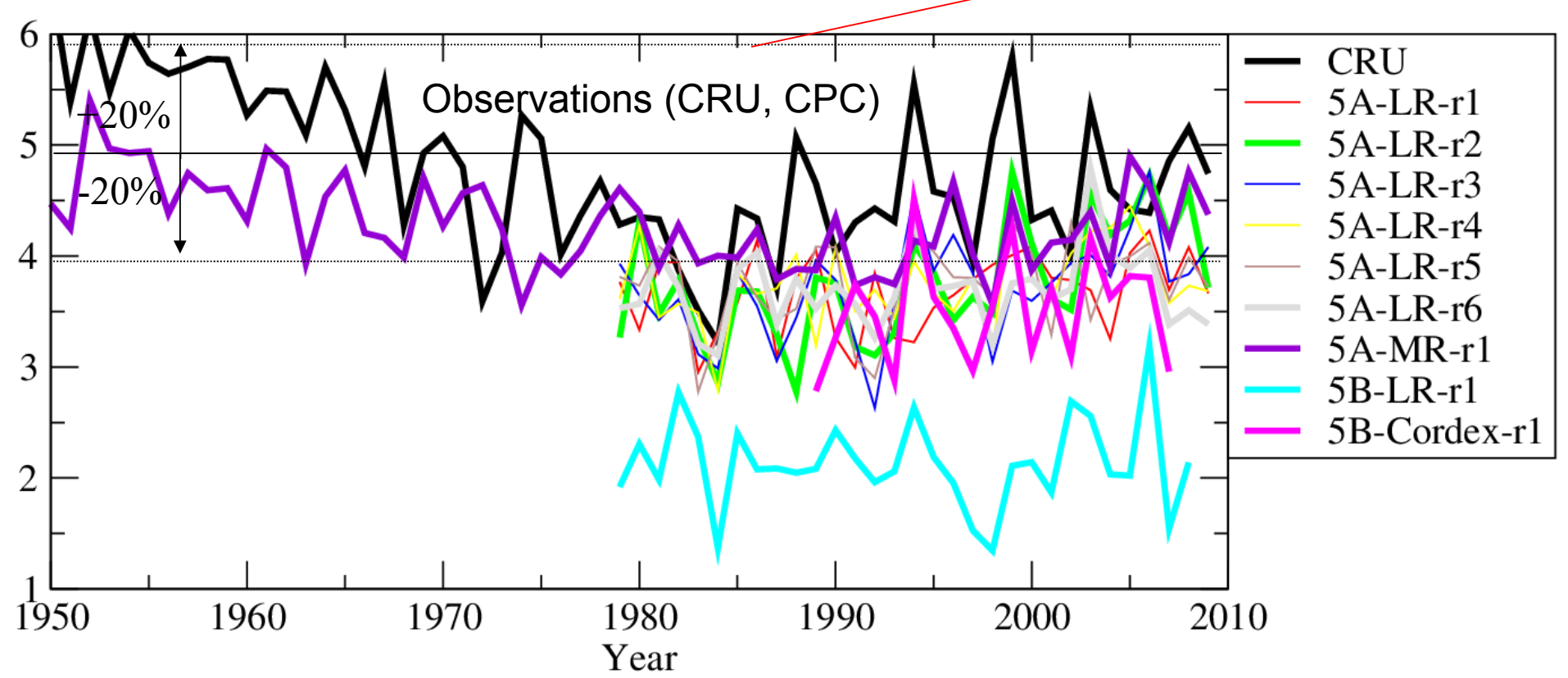


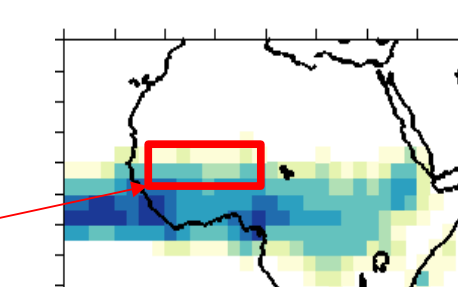
JJAS & [13W-10E, 10N-18N] averaged rainfall (mm/day)



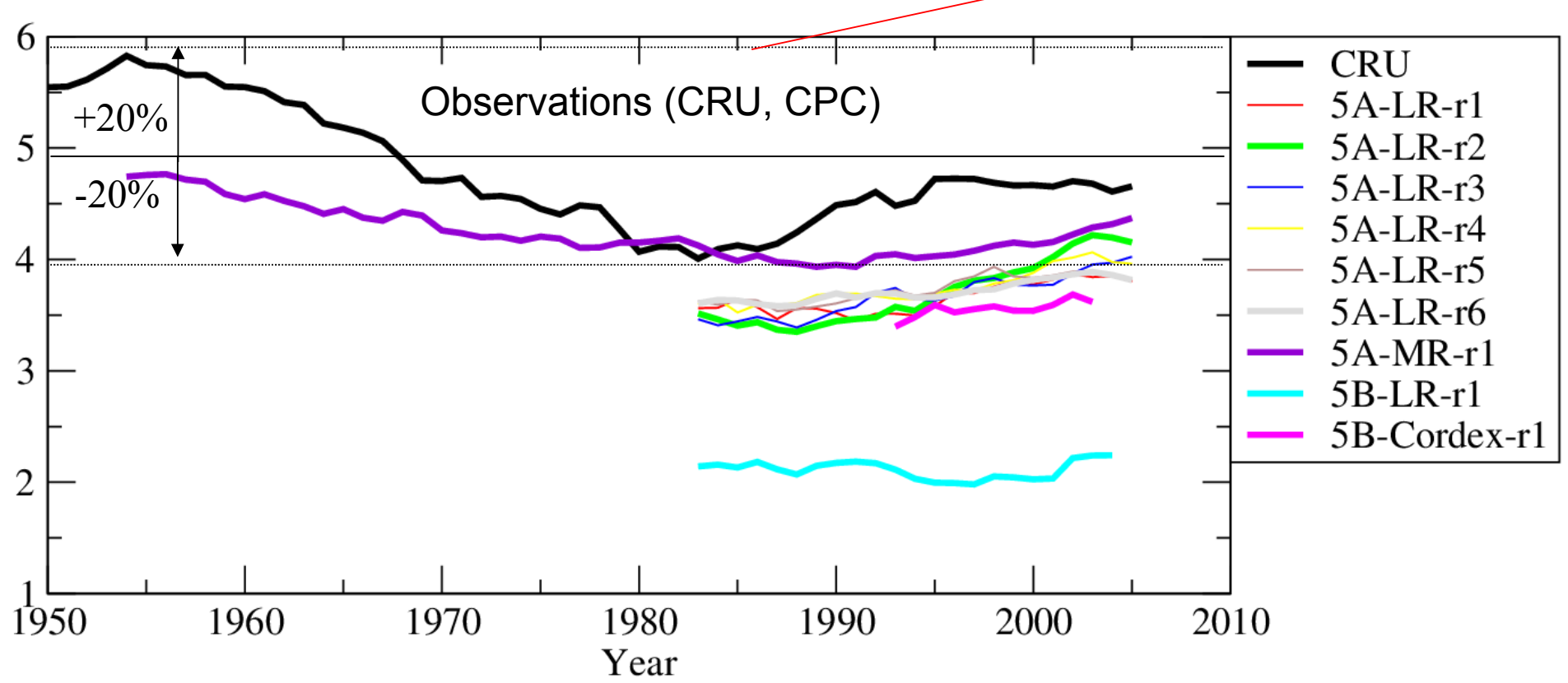


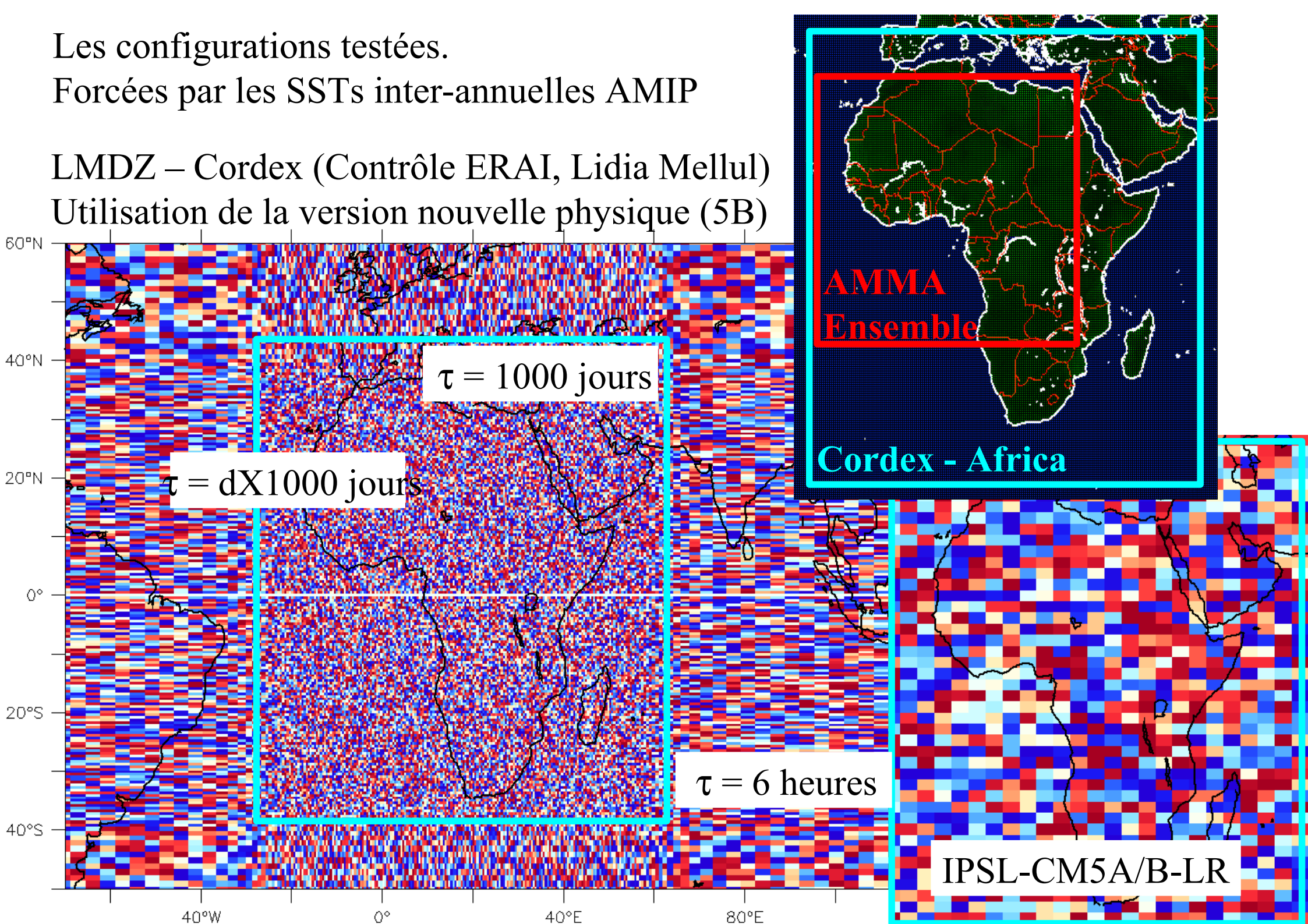
JJAS & [13W-10E, 10N-18N] averaged rainfall (mm/day)



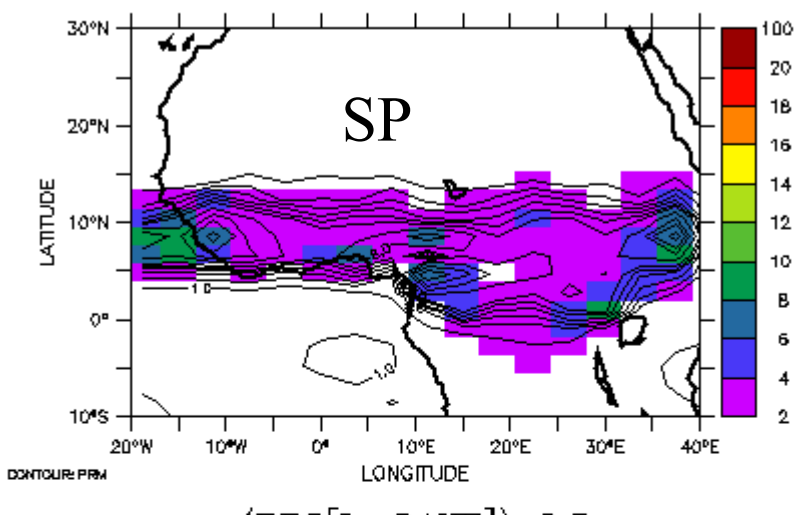


JJAS & [13W-10E, 10N-18N] averaged rainfall (mm/day)





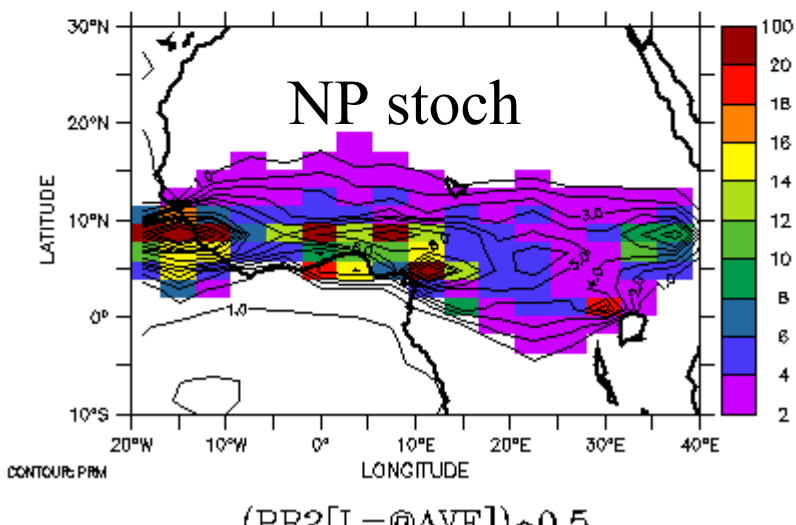
TIME: 01-JUL-1982 00:00 to 01-00科林\$日700047\$80_DAY TIME · 01-JUL-1982 00:00 to 01-024TA1901: 00.1001360_DAY



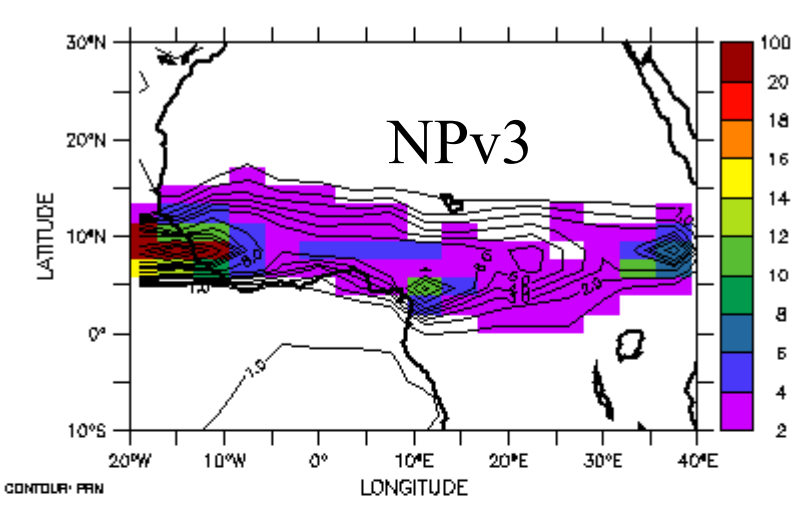
(PR2[L=@AVE])^0.5

FEMILET VM 4 88 HOAVPHEL THAP DI NAR-2014 23 14-31

TIME: 01-JUL-1982 00:00 to 01-00种科的新门的处理方面



$$(\mathtt{PR2[L=@AVE]}) \textcolor{red}{\sim} 0.5$$



(PR2[L=@AVE])^0.5

Biais chauds océaniques

En forcé:

Biais précip

Biais Ts

Biais Sw

Nnuages coupe méridienne

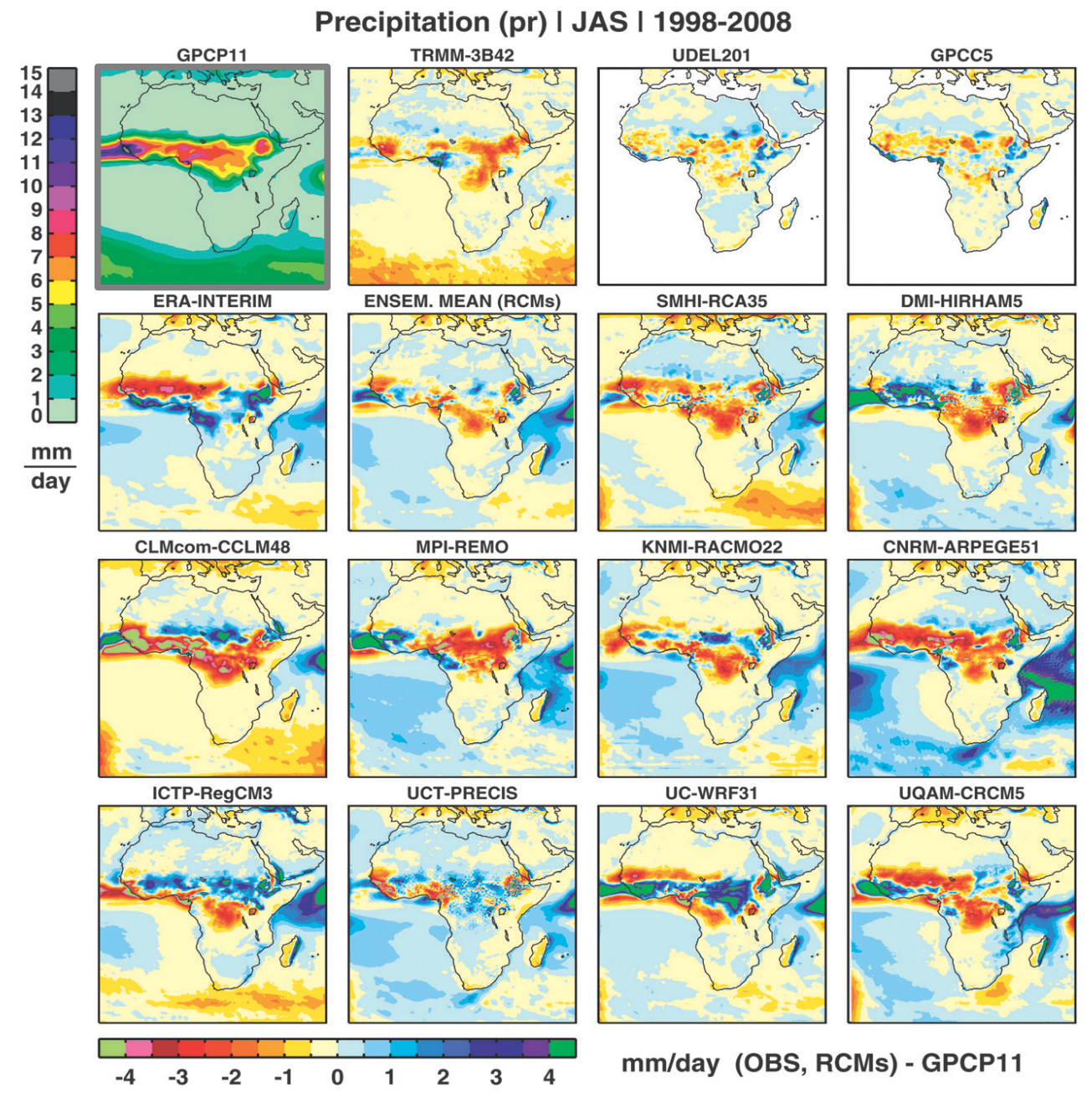
Variabilité : cycle diurne et intra-saisonnier. Regarder stochastique Sortir cartes de variabilité des pluies SP, NPv3, NPv4

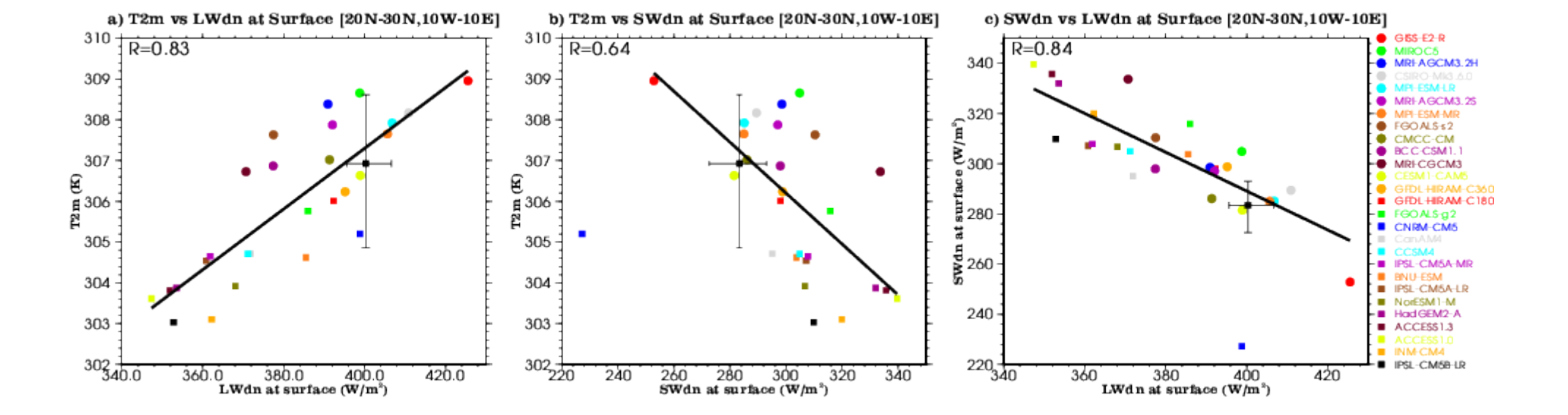
Décennal

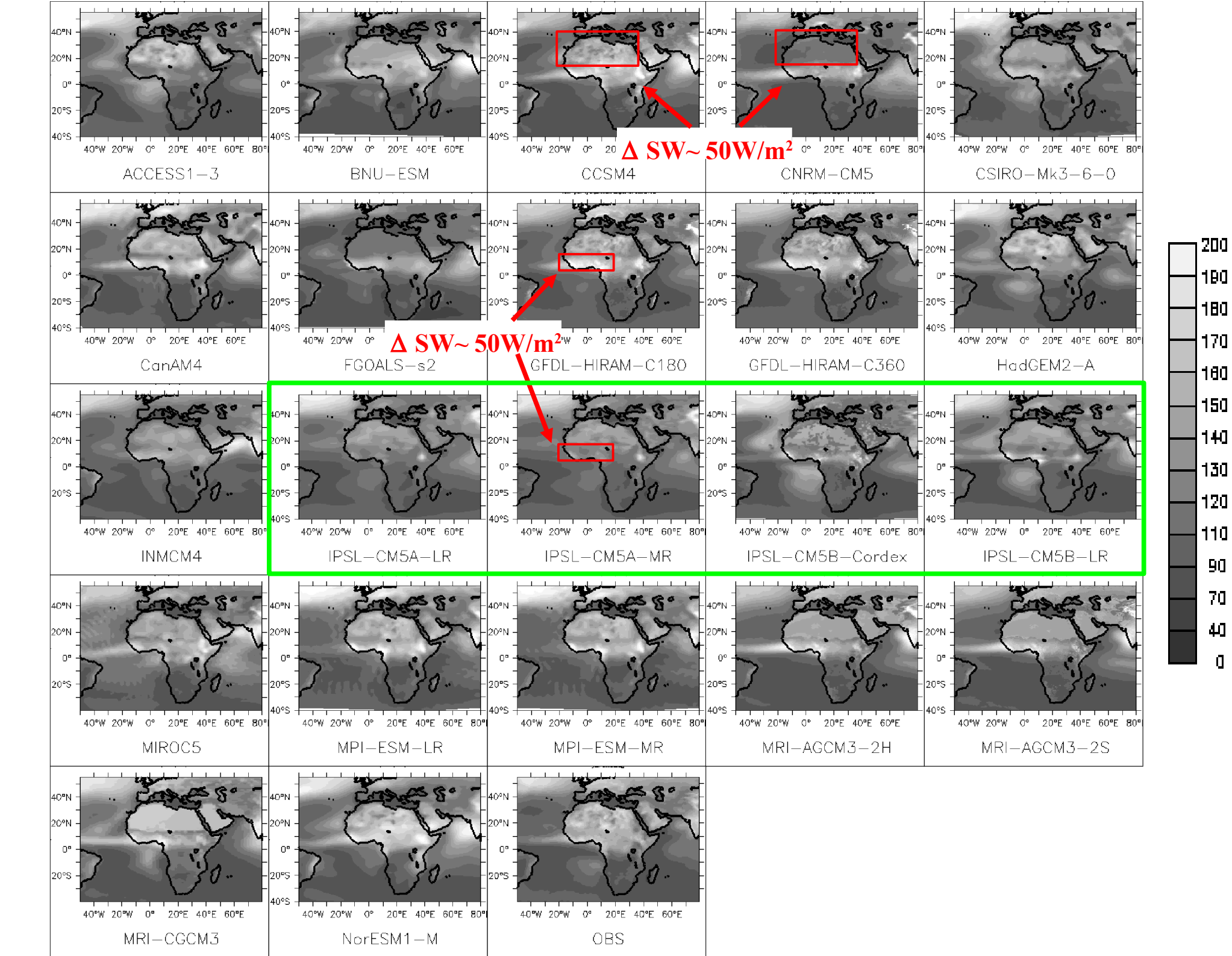
Bourrasques de vent et soulèvement des poussières.

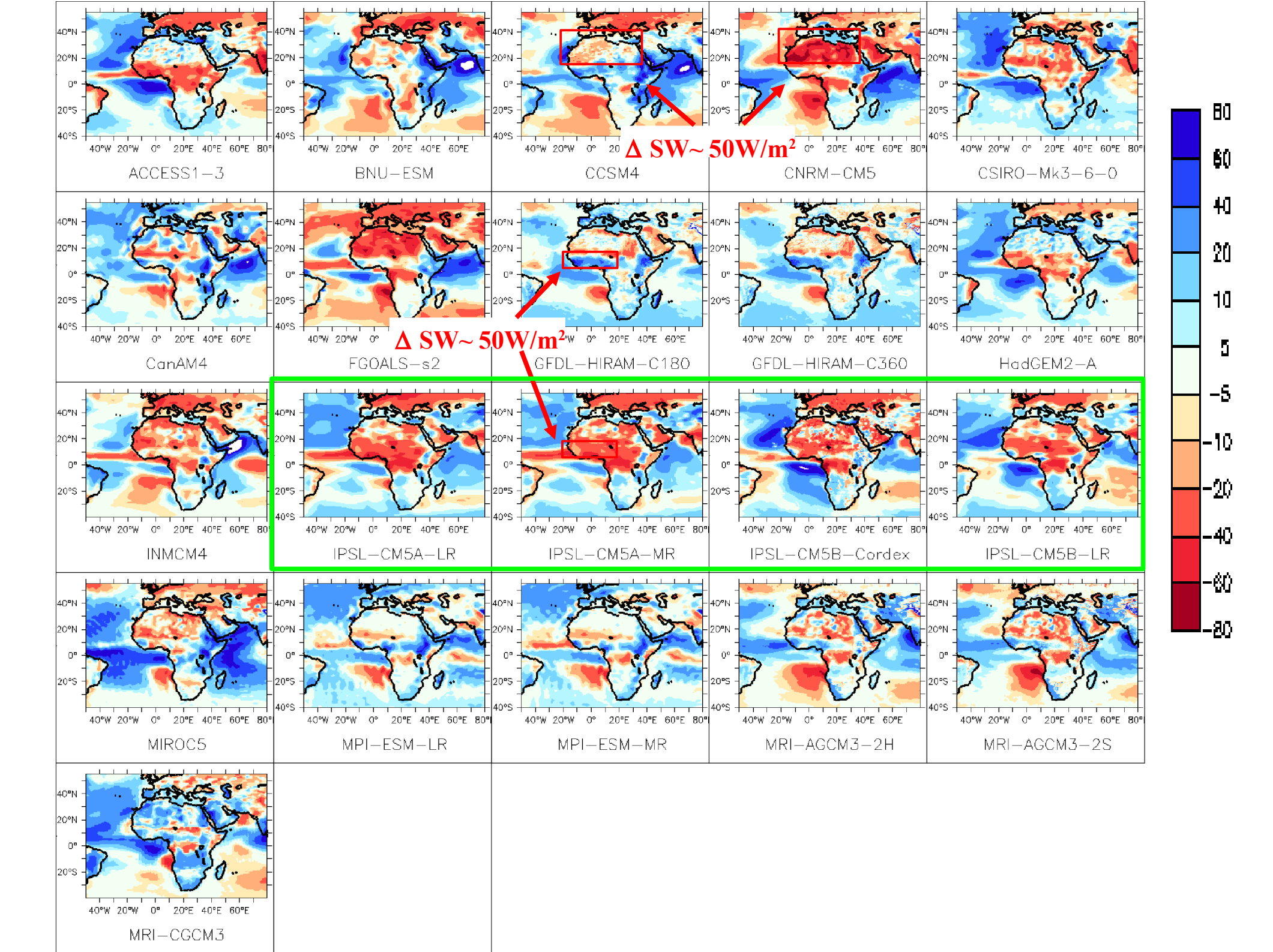
2. Biais moyens

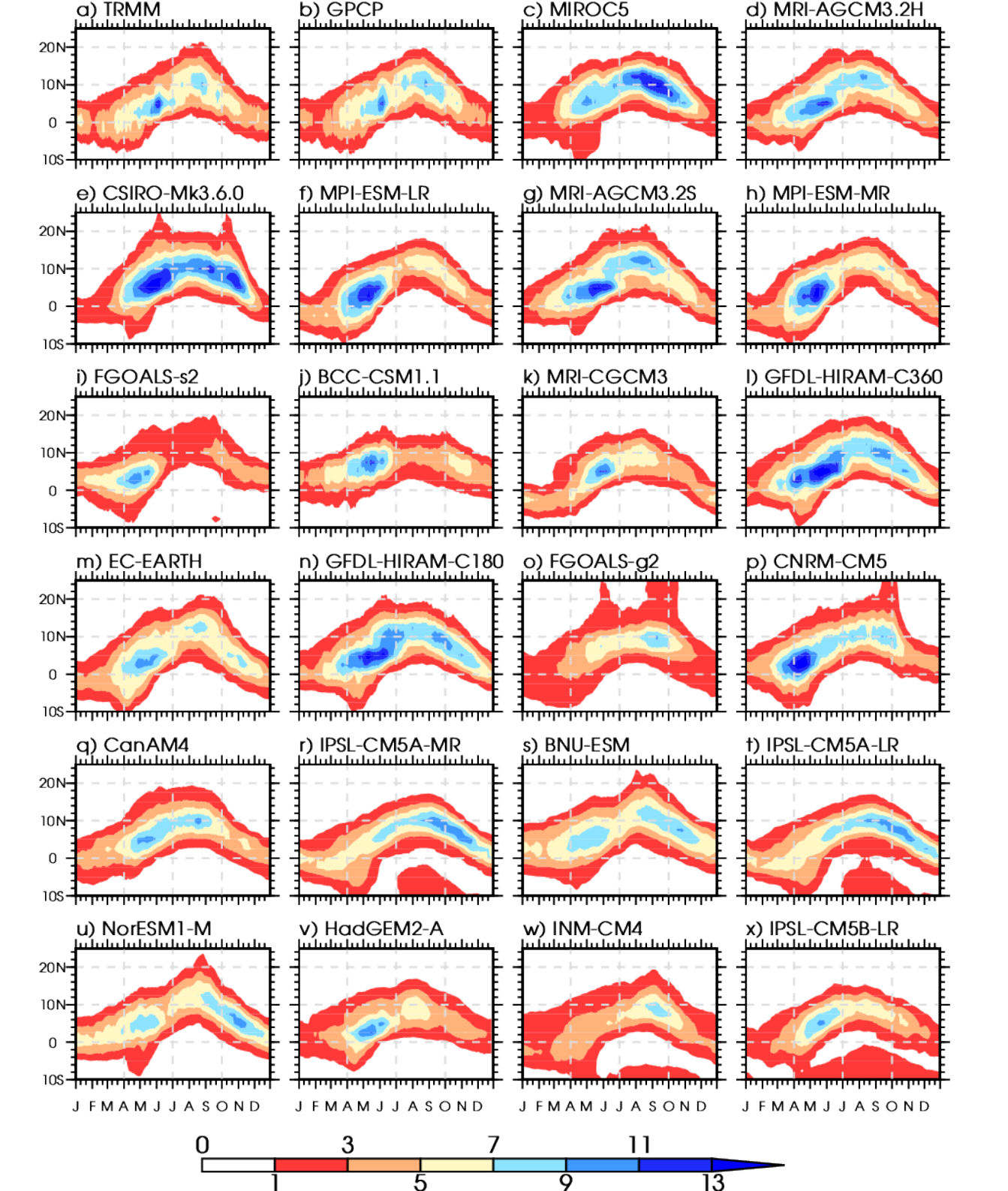
Precipitation Climatology in an Ensemble of CORDEX-Africa Regional Climate Simulations, Nikulin et al., 2012, J. Clim.

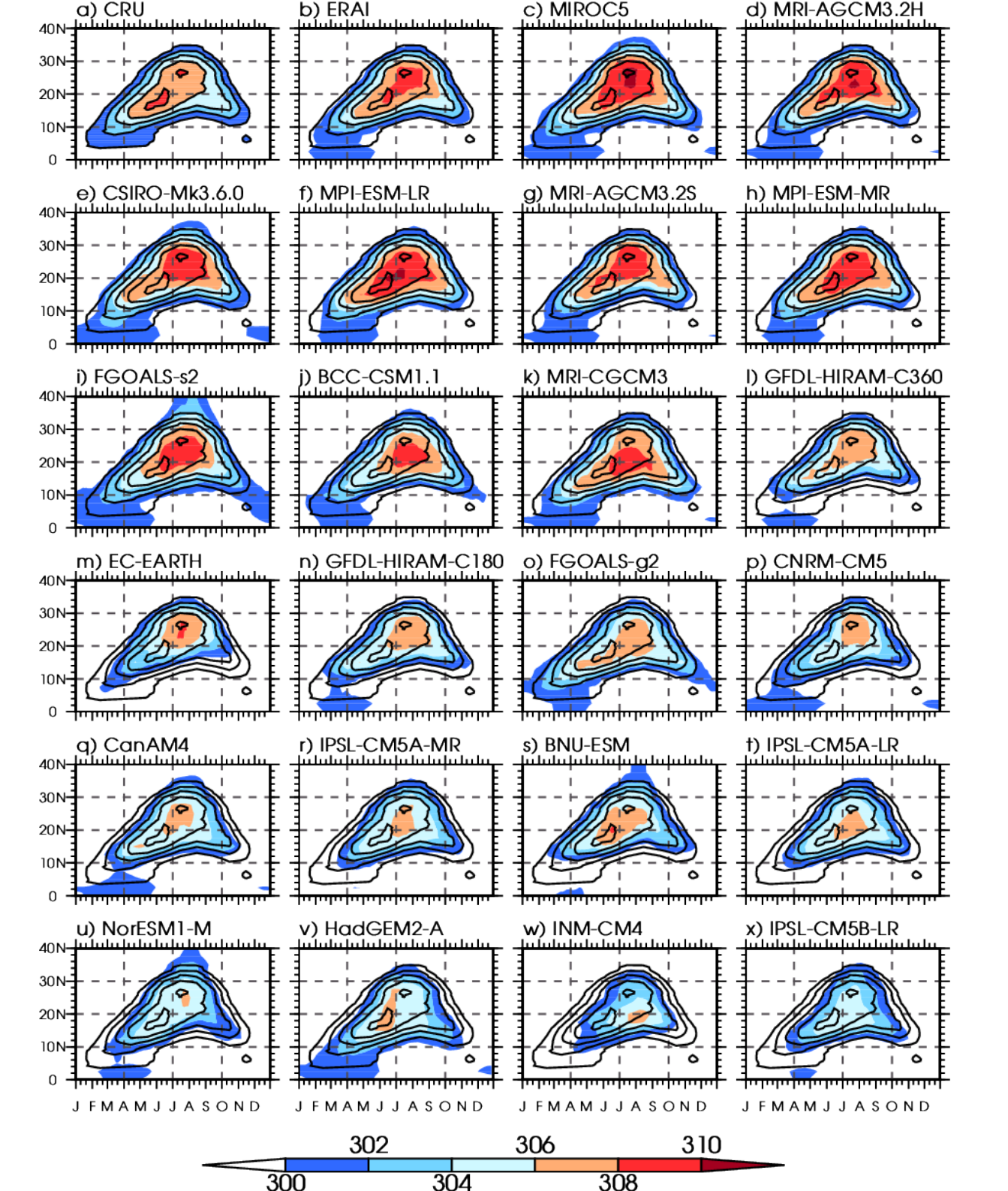


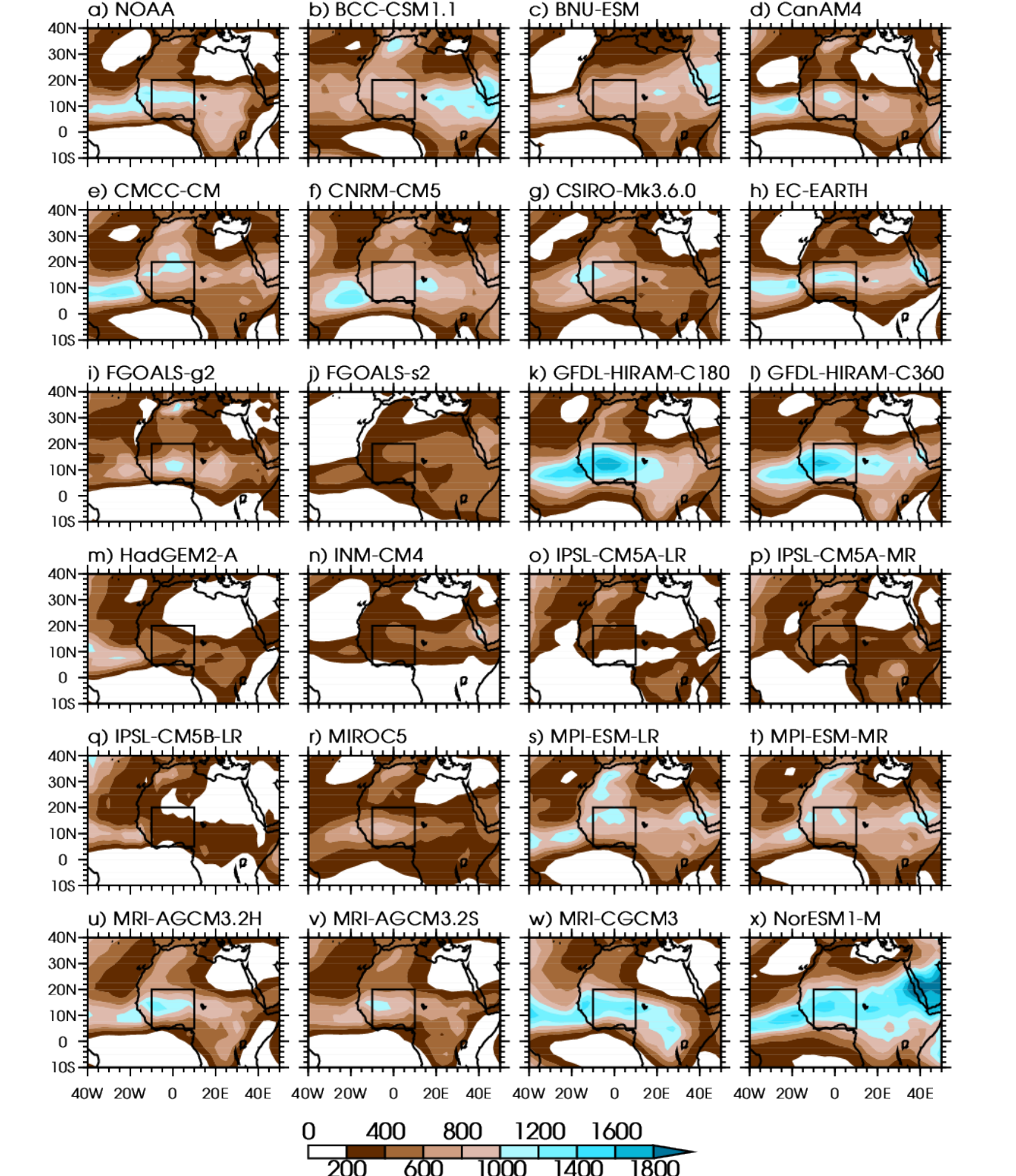


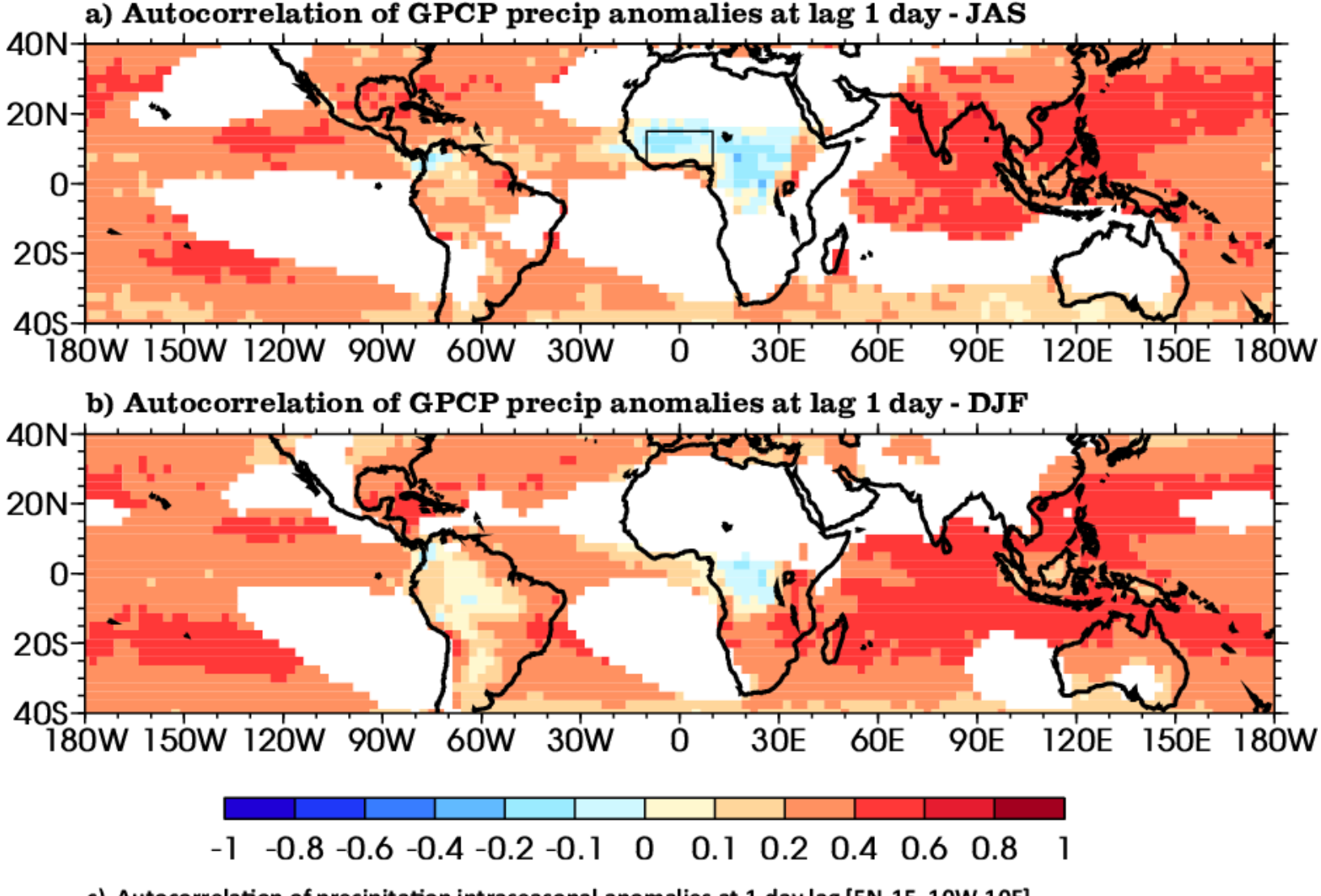


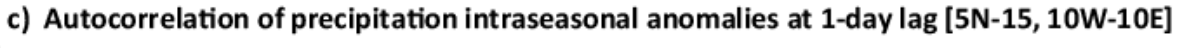


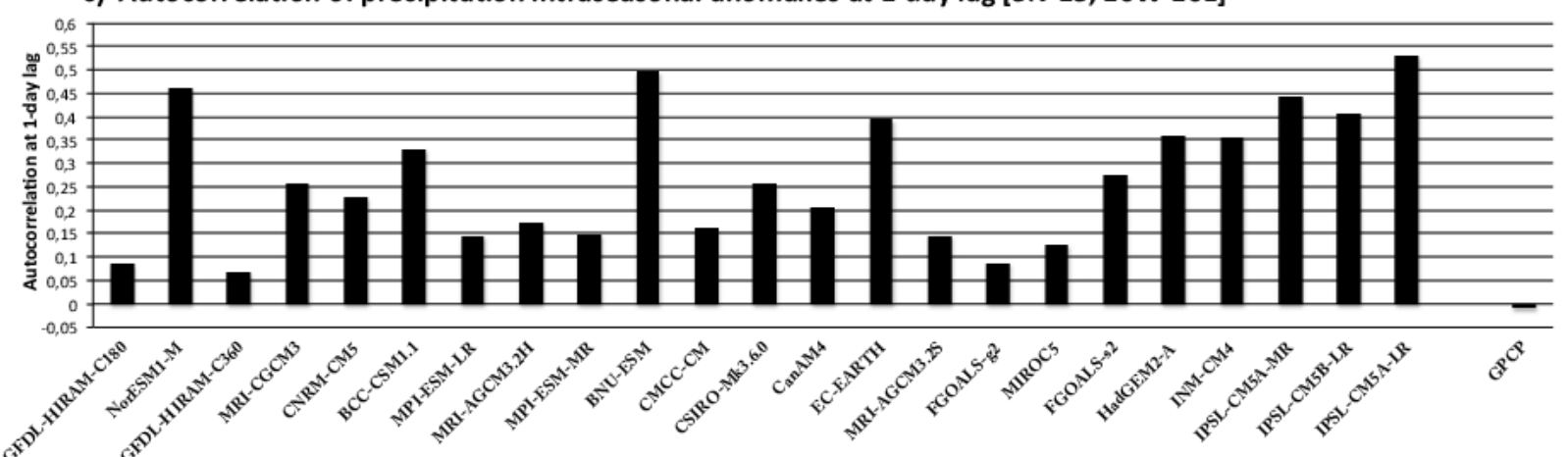


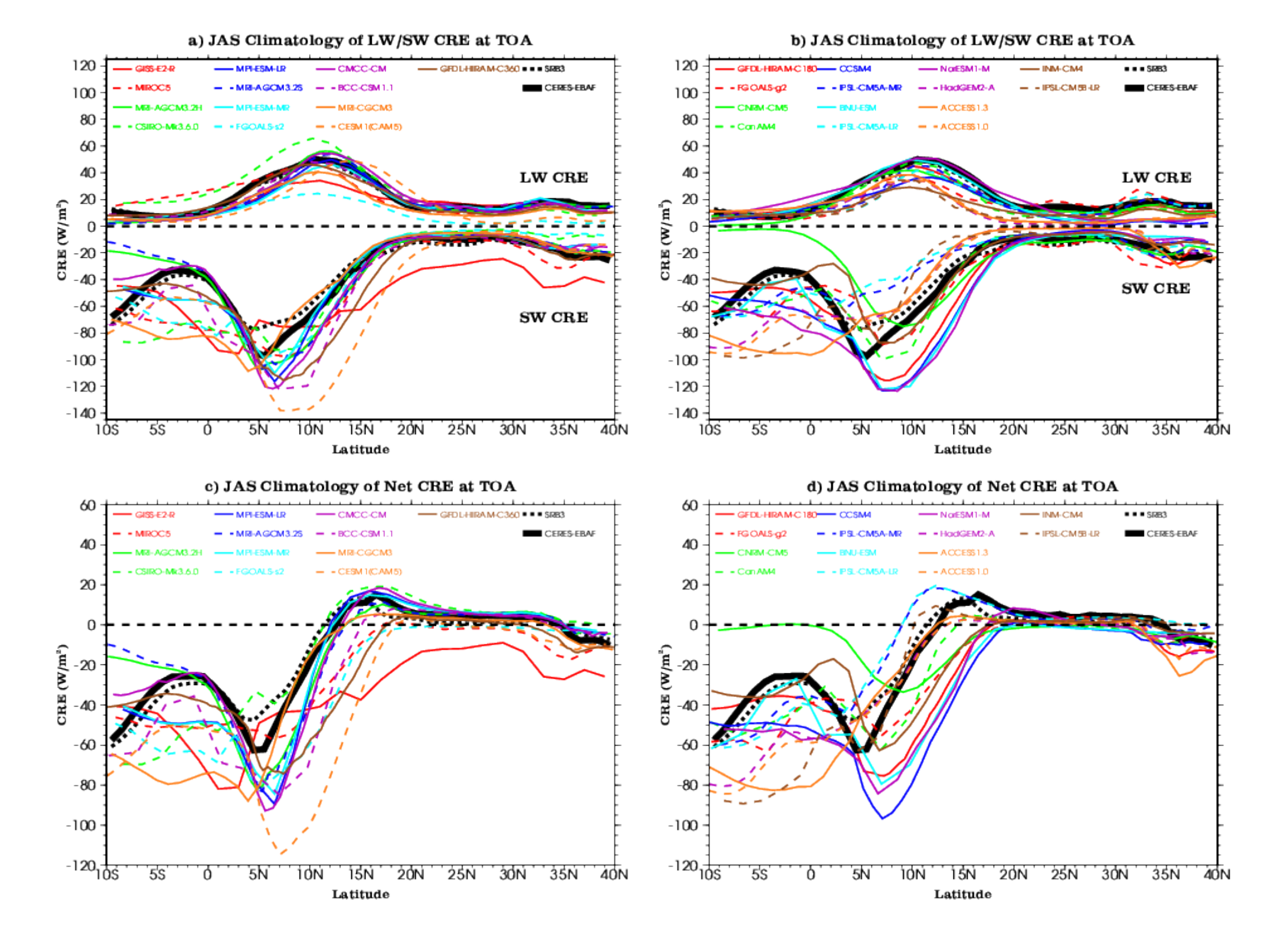


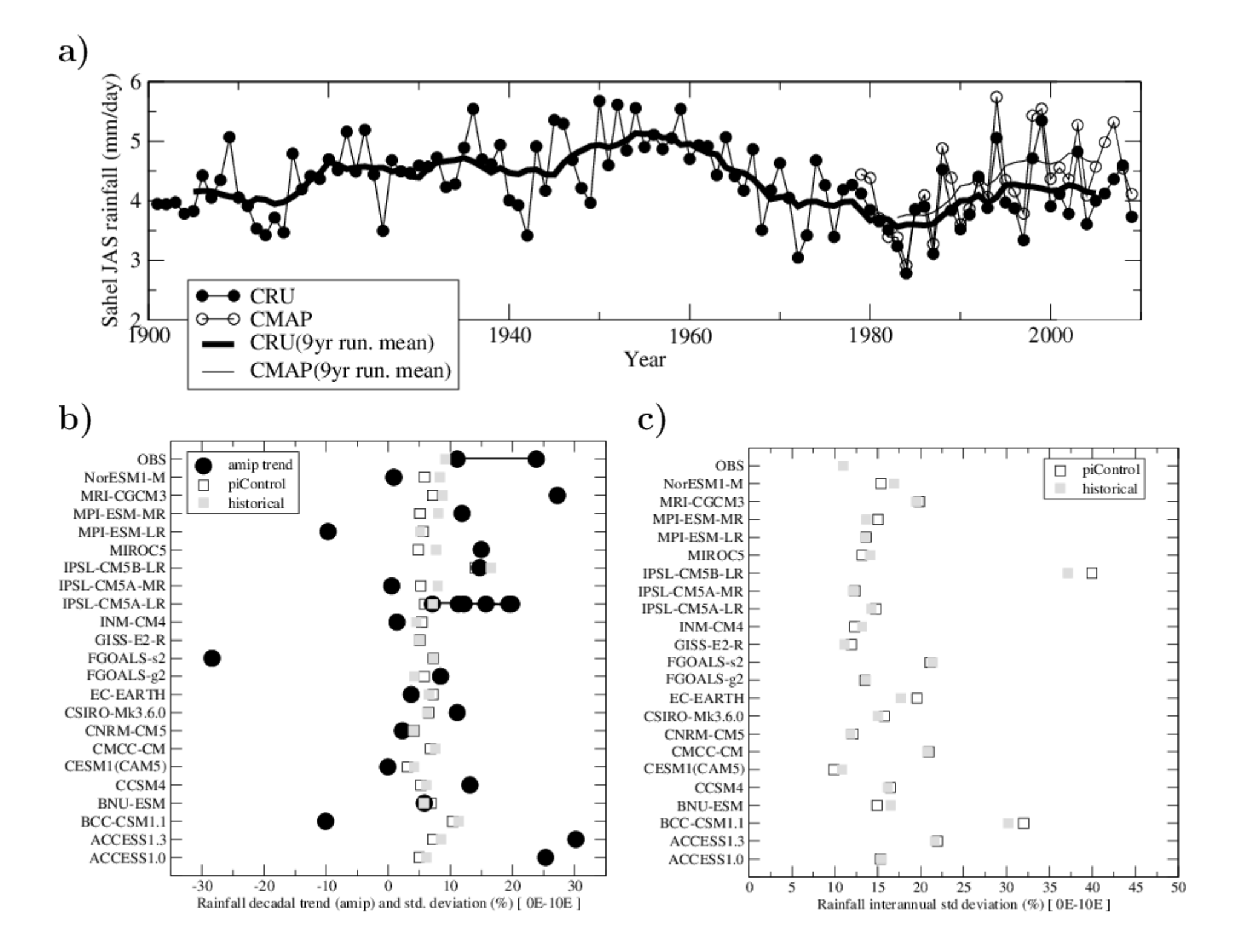


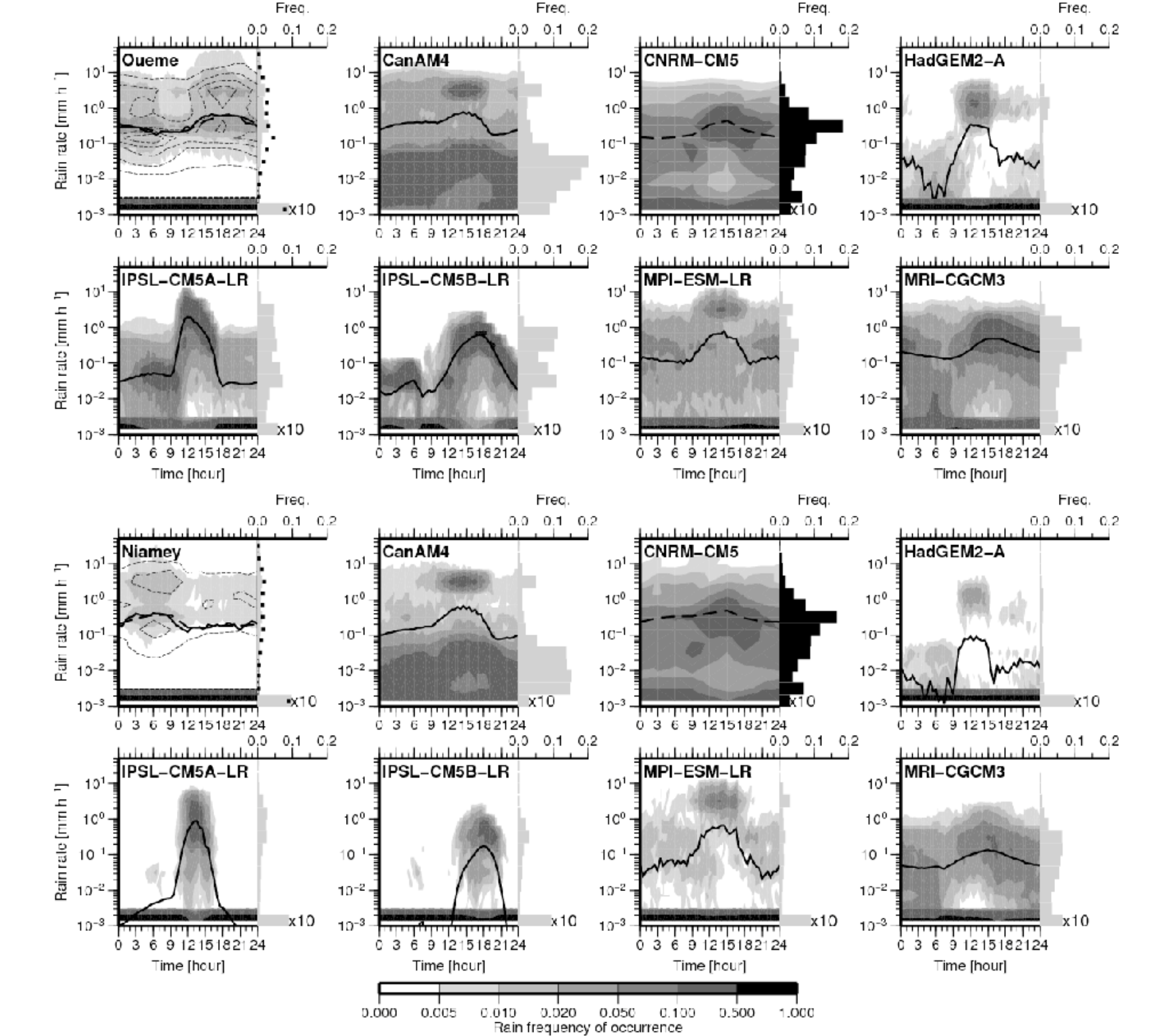


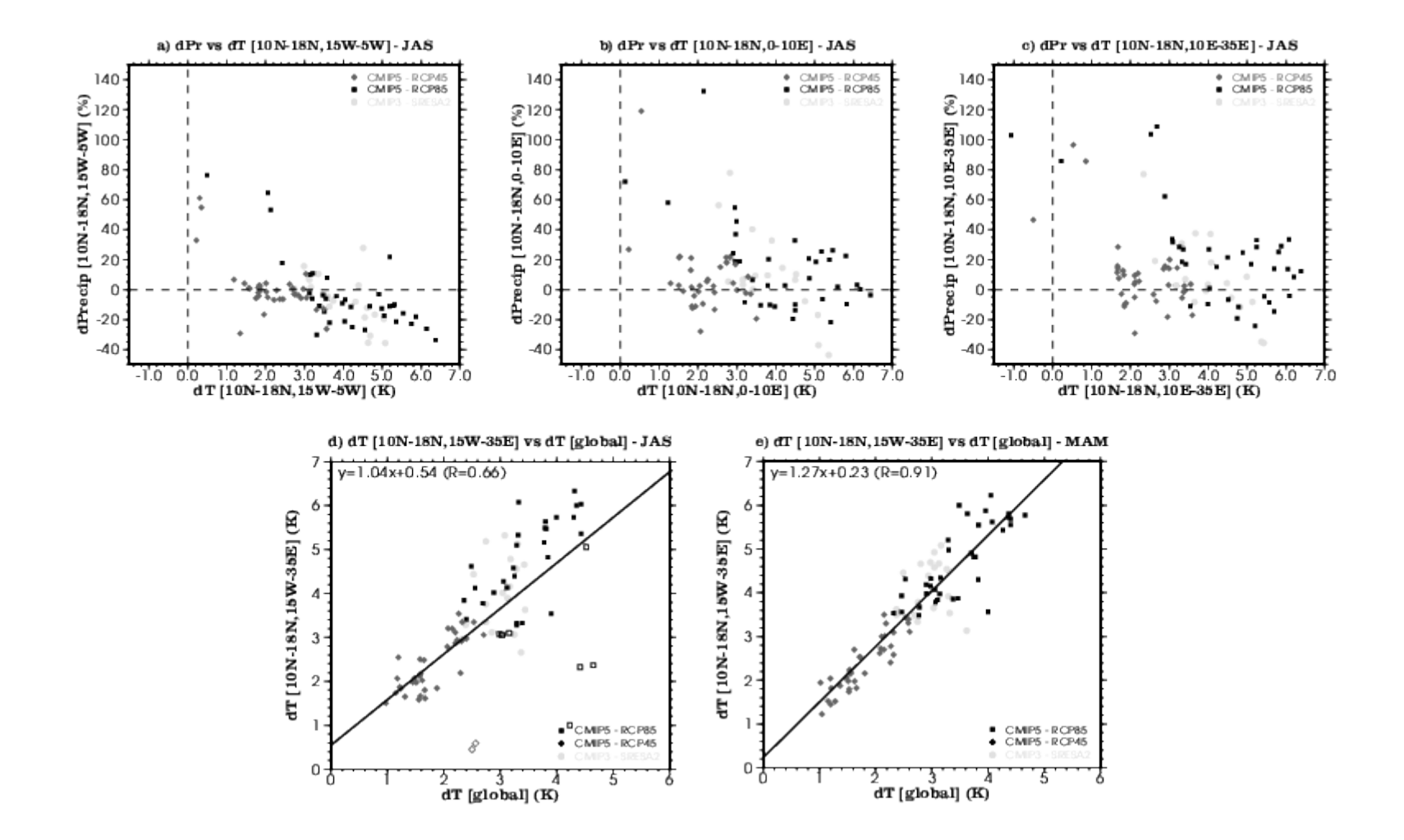


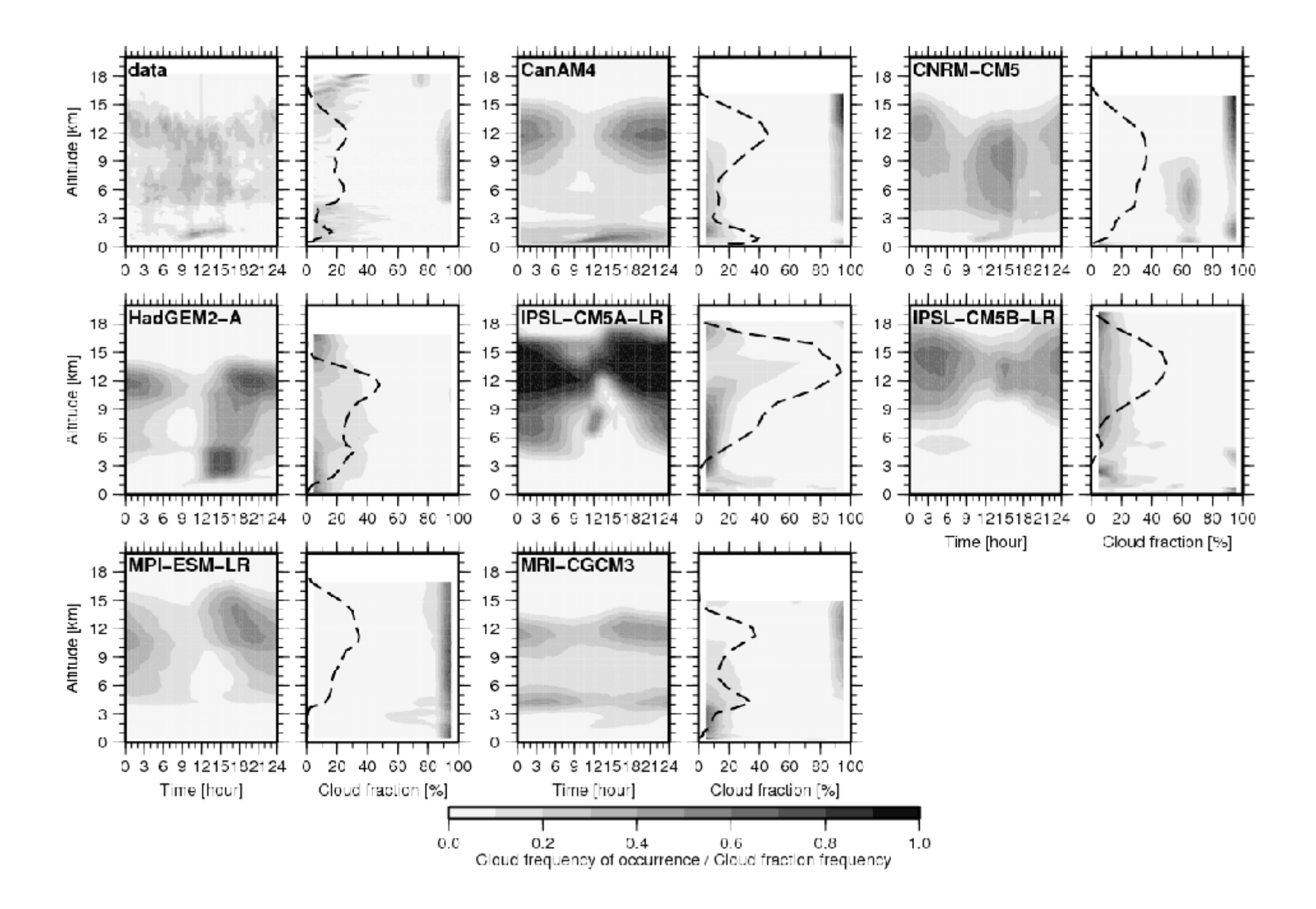


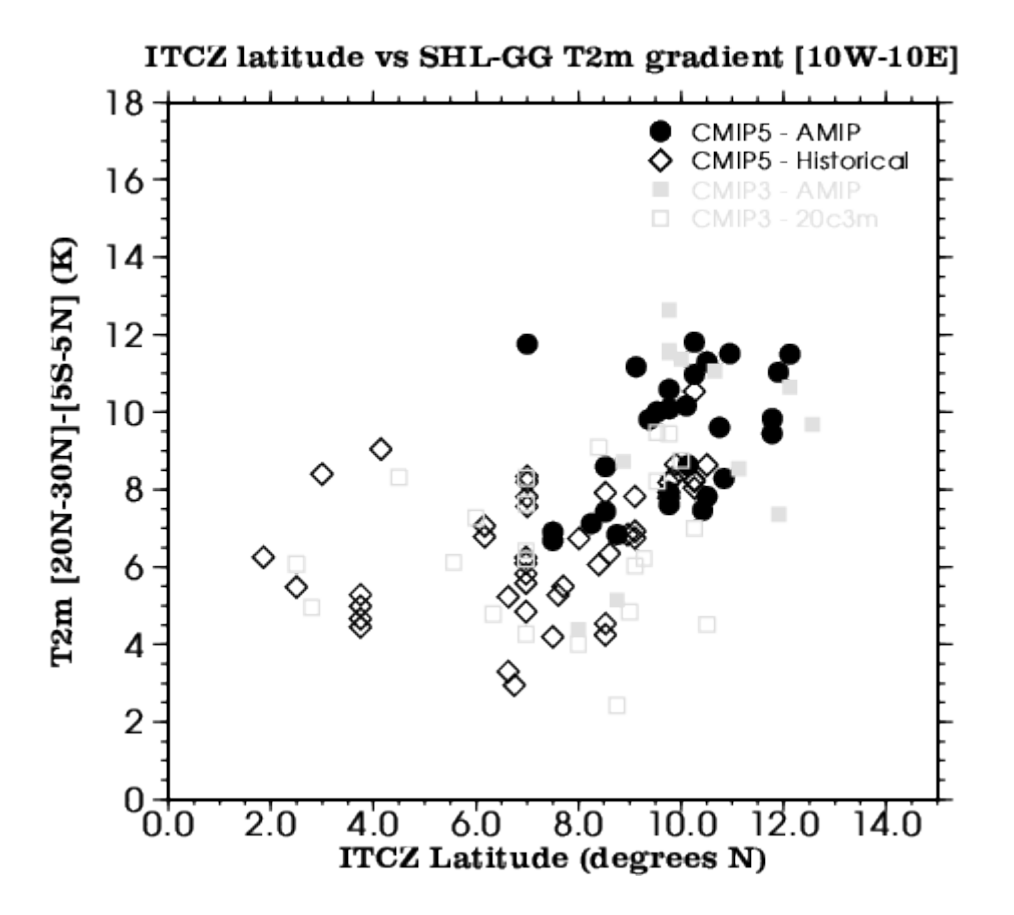


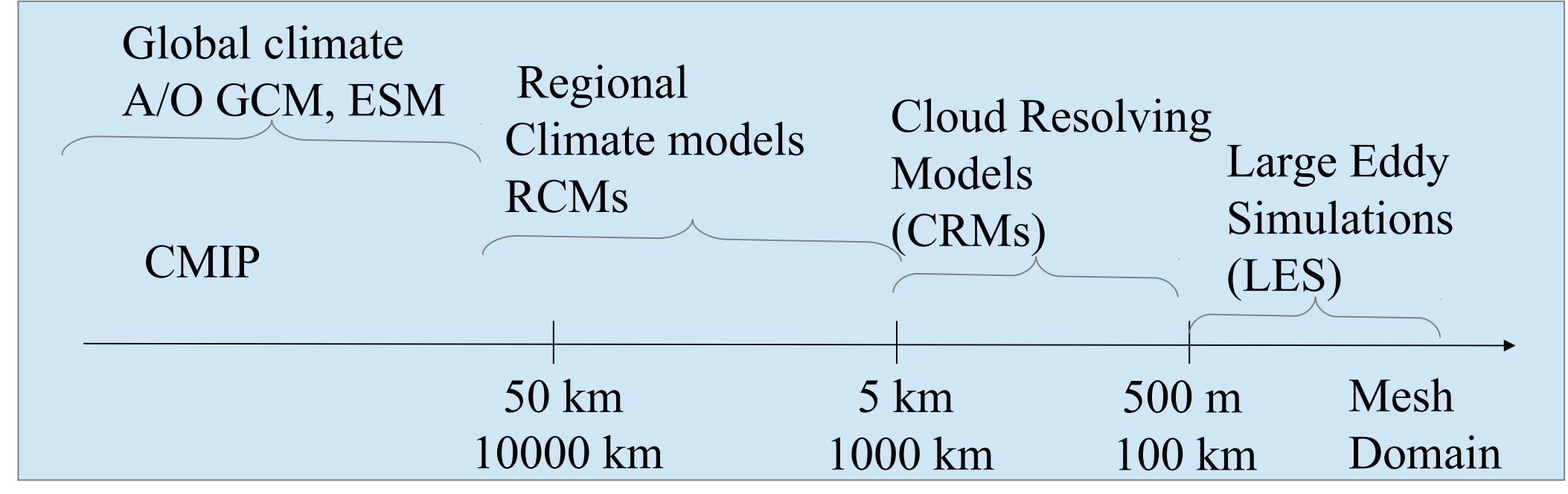












Characteristics

- → Self consistent
- → Coupled
- \rightarrow Parameterized convetion and clouds

What for

- → Climate change
- → global and regional feedbacks

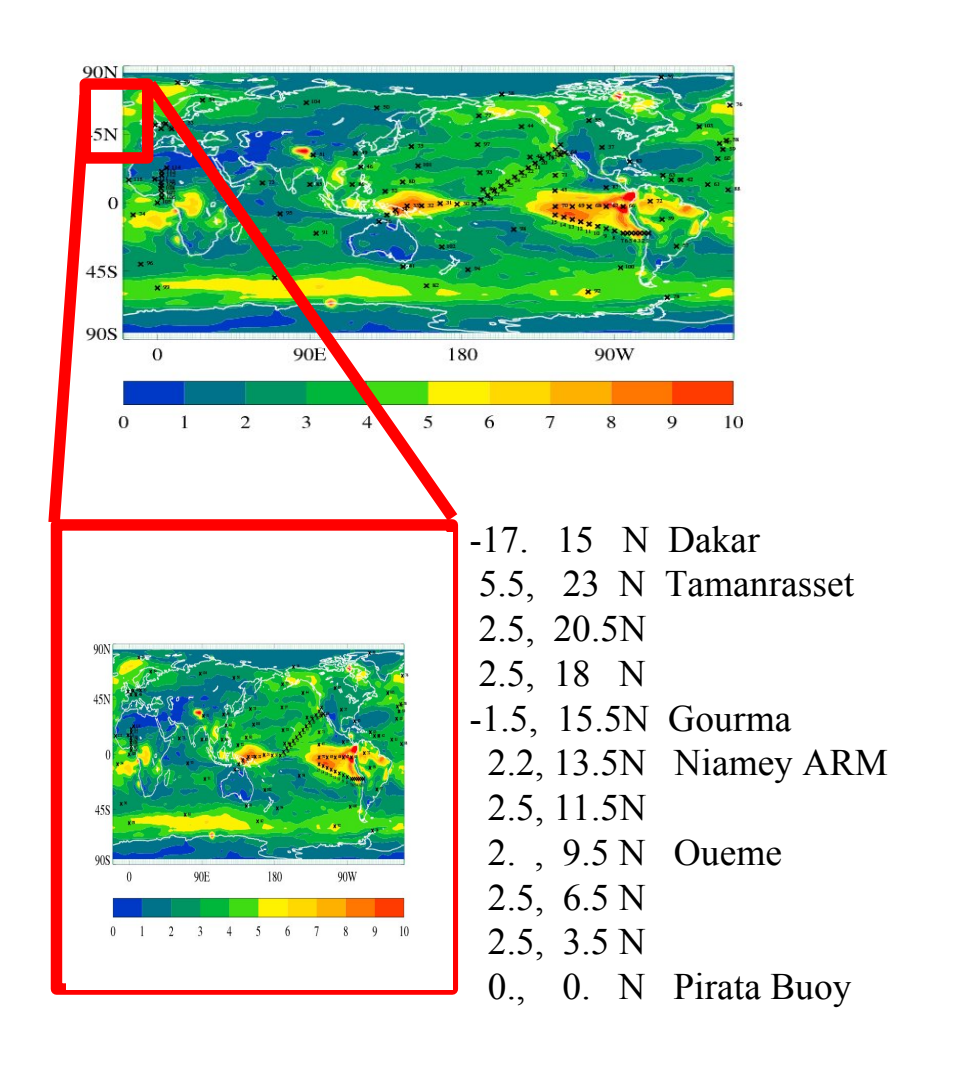
- → Depends on large scale forcing
- → Consistency issue
- \rightarrow Parameterized convection and clouds
- → Downscaling
- → Better account for surface heterogeneities
- → Local feedbacks(eg: hydro, Taylor et al.)

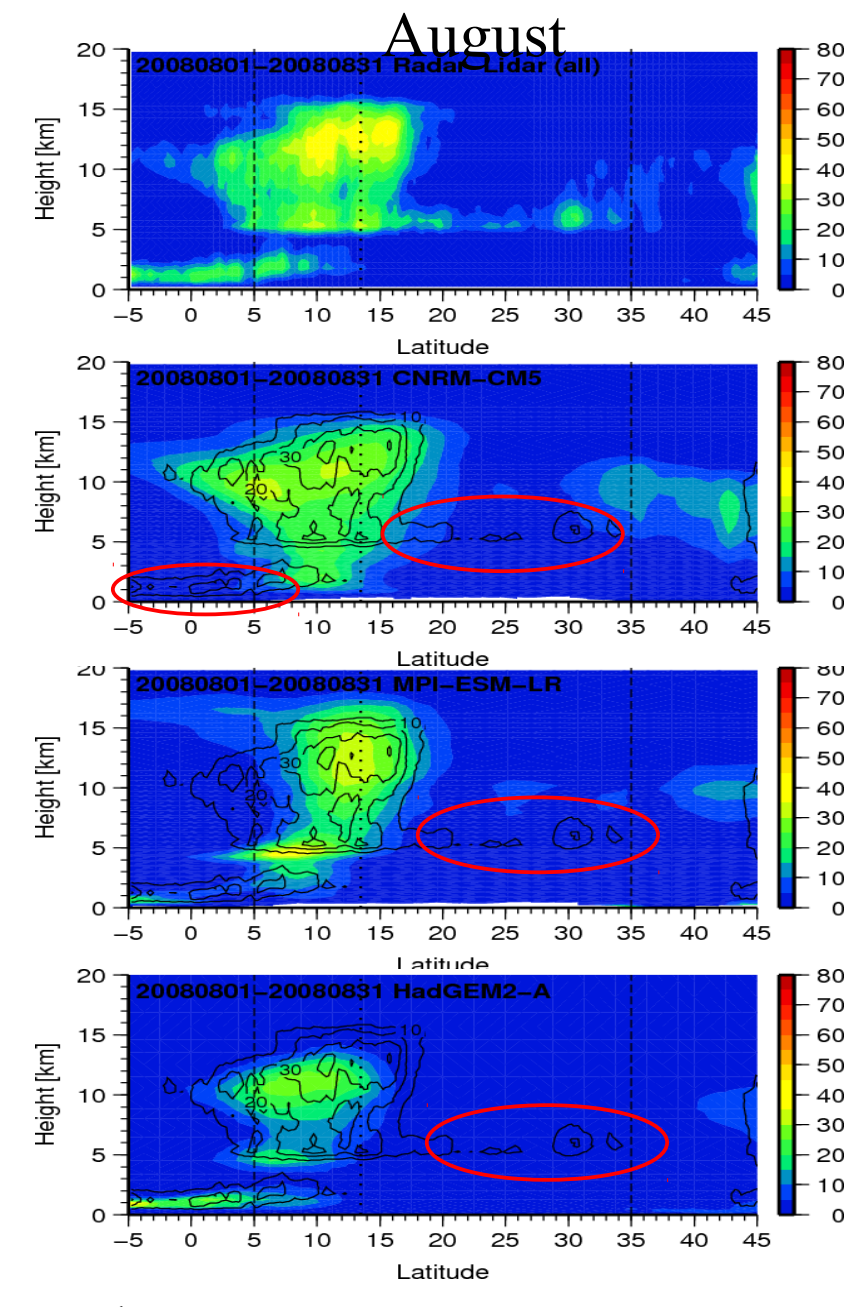
→ Explicit convection turbulence and clouds

- → process studies
- → Convection life cycle Organisation, MCS ...
- → local climate feedbacks

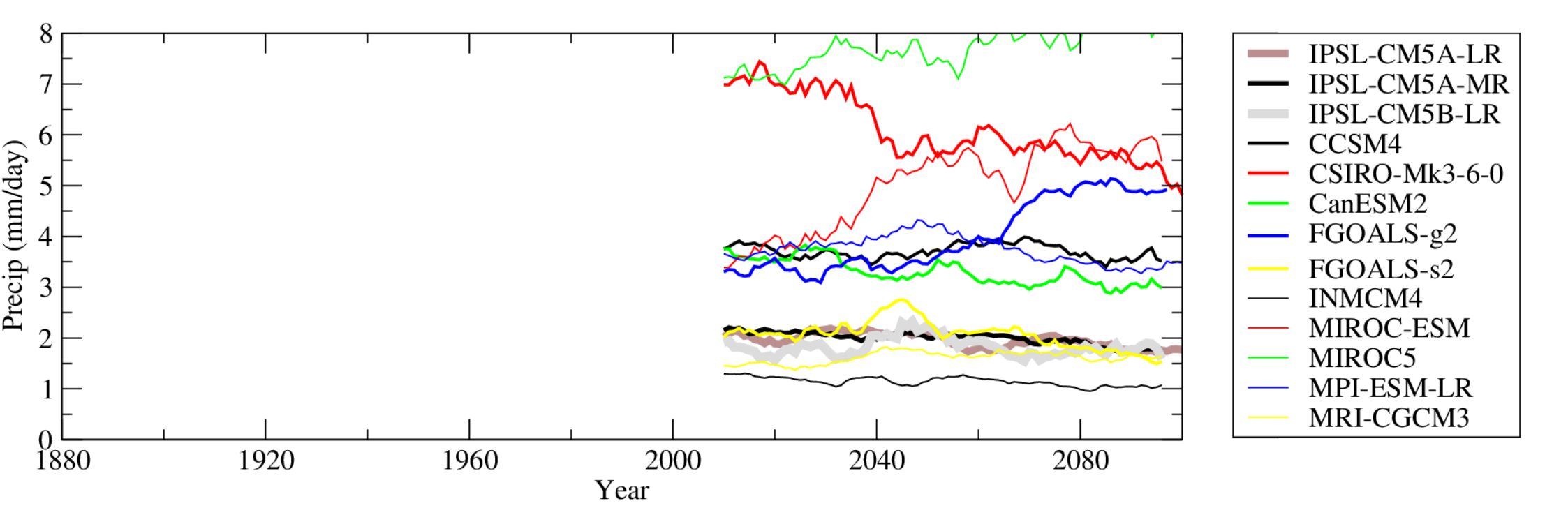
Promote the AMMA/ AMMA-MIP framework Evaluation on the 10W-10E transect of CMIP5 and Cordex simulations

11 « stations » selected for CMIP5 outputs which include AMMA super-sites

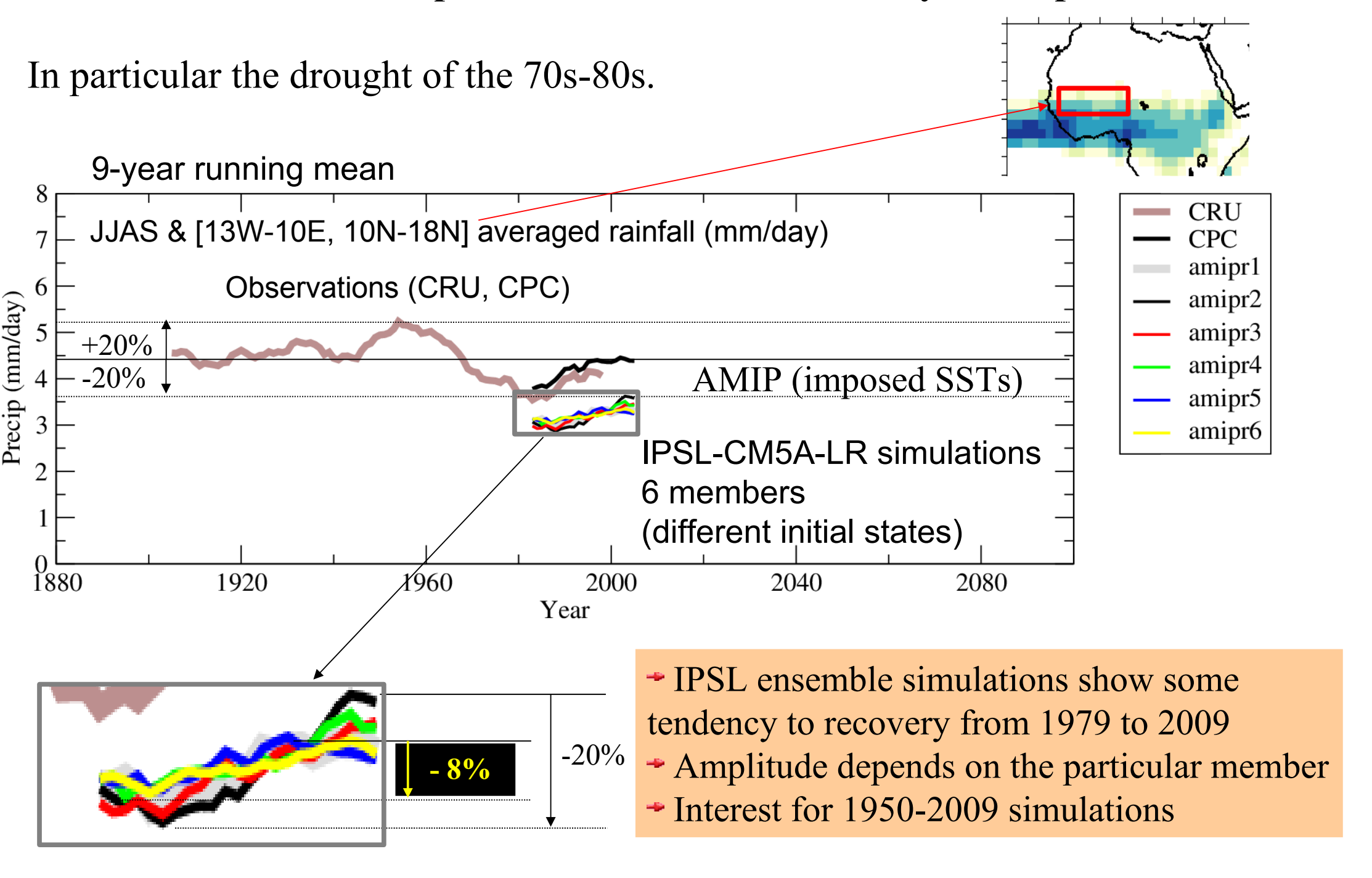




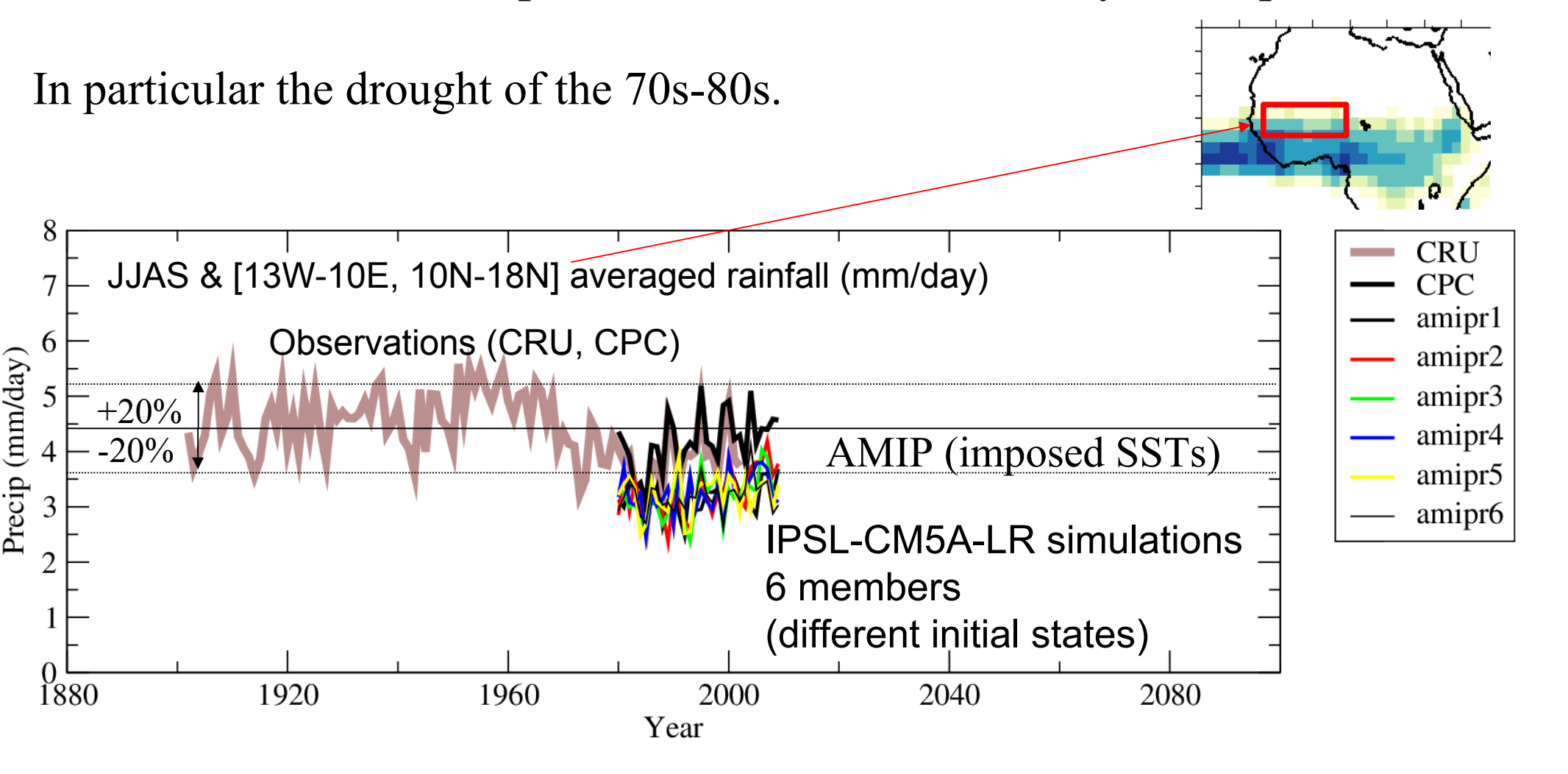
Preliminary results:
Cross section of cloud cover for calipso/cloudsat
A-train data and 3 CMIP5 models
Bougniol et al., this conference



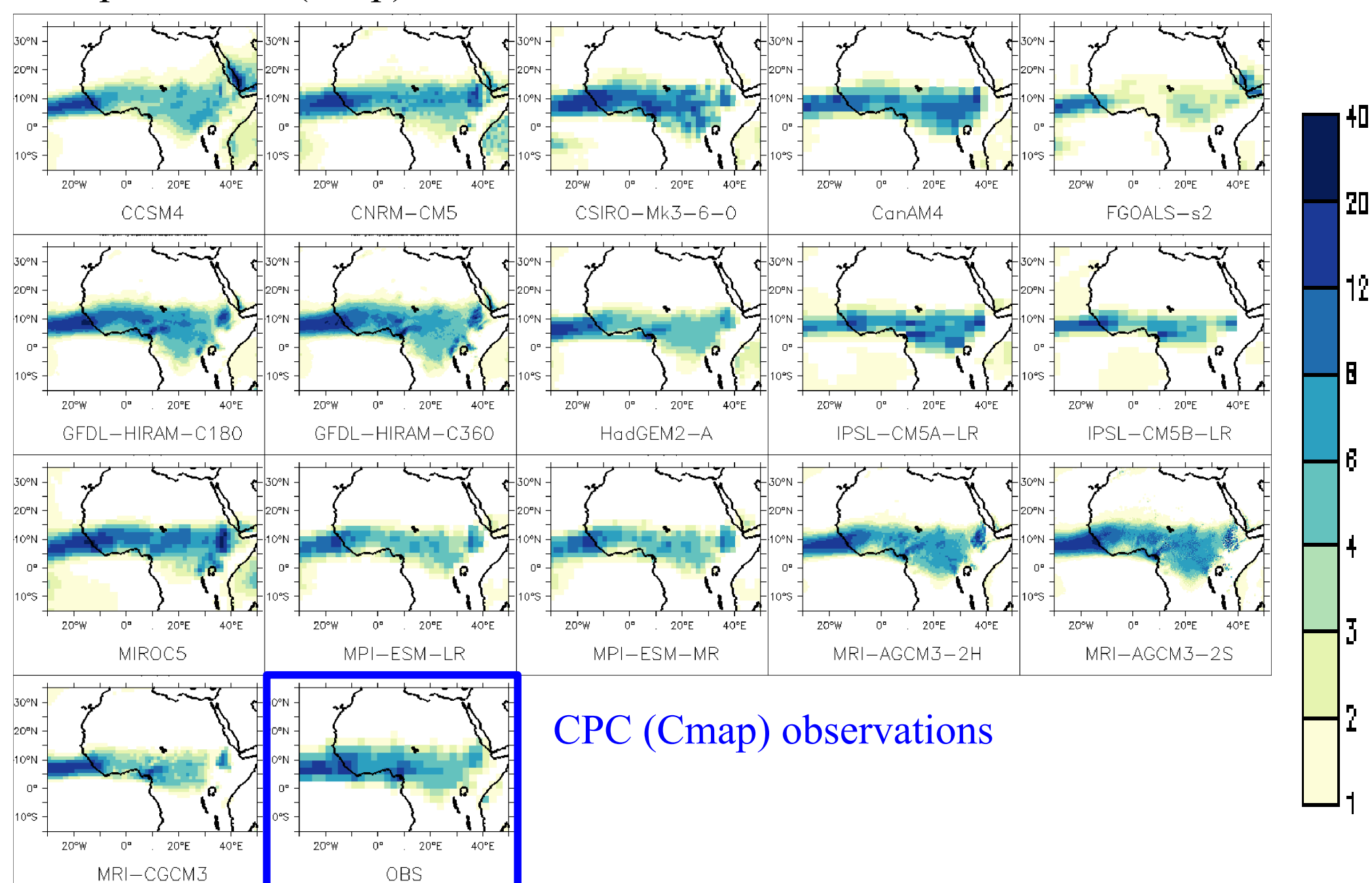
Are the model able to represent the climate variability of the past decades?



Are the model able to represent the climate variability of the past decades?

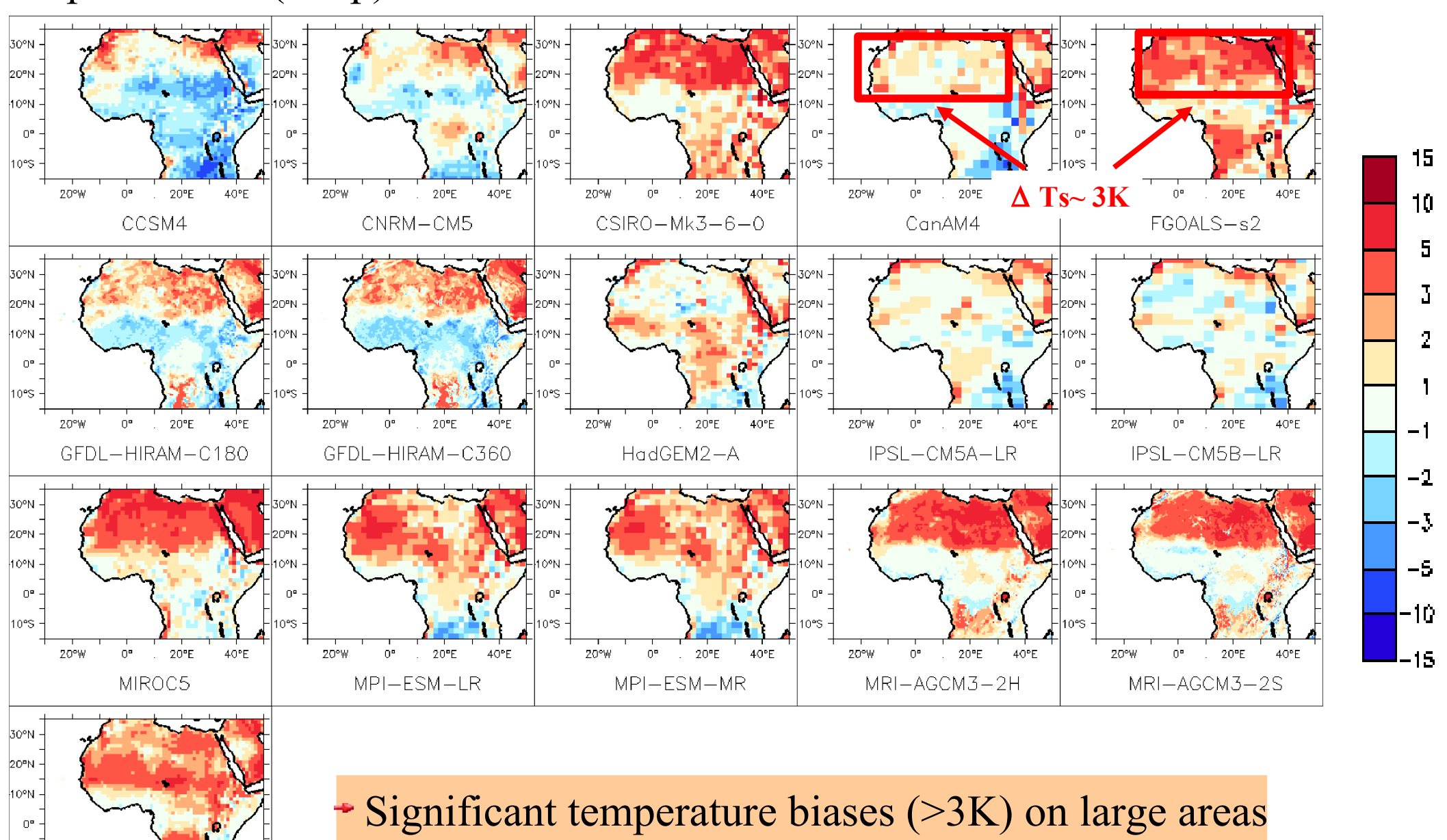


JJAS mean precipitation 1980-1999 (mm/day) Imposed-SST (amip) simulations

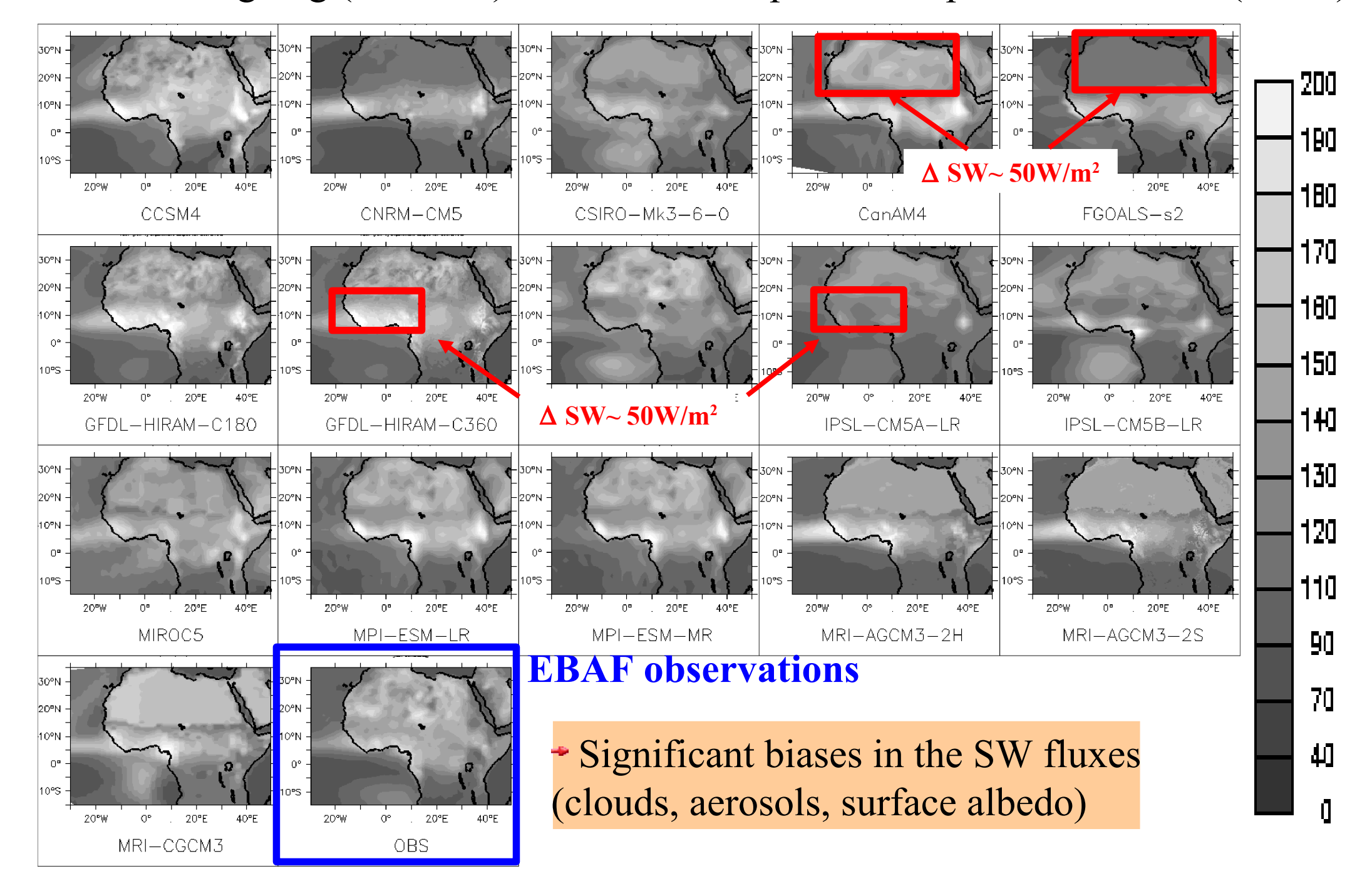


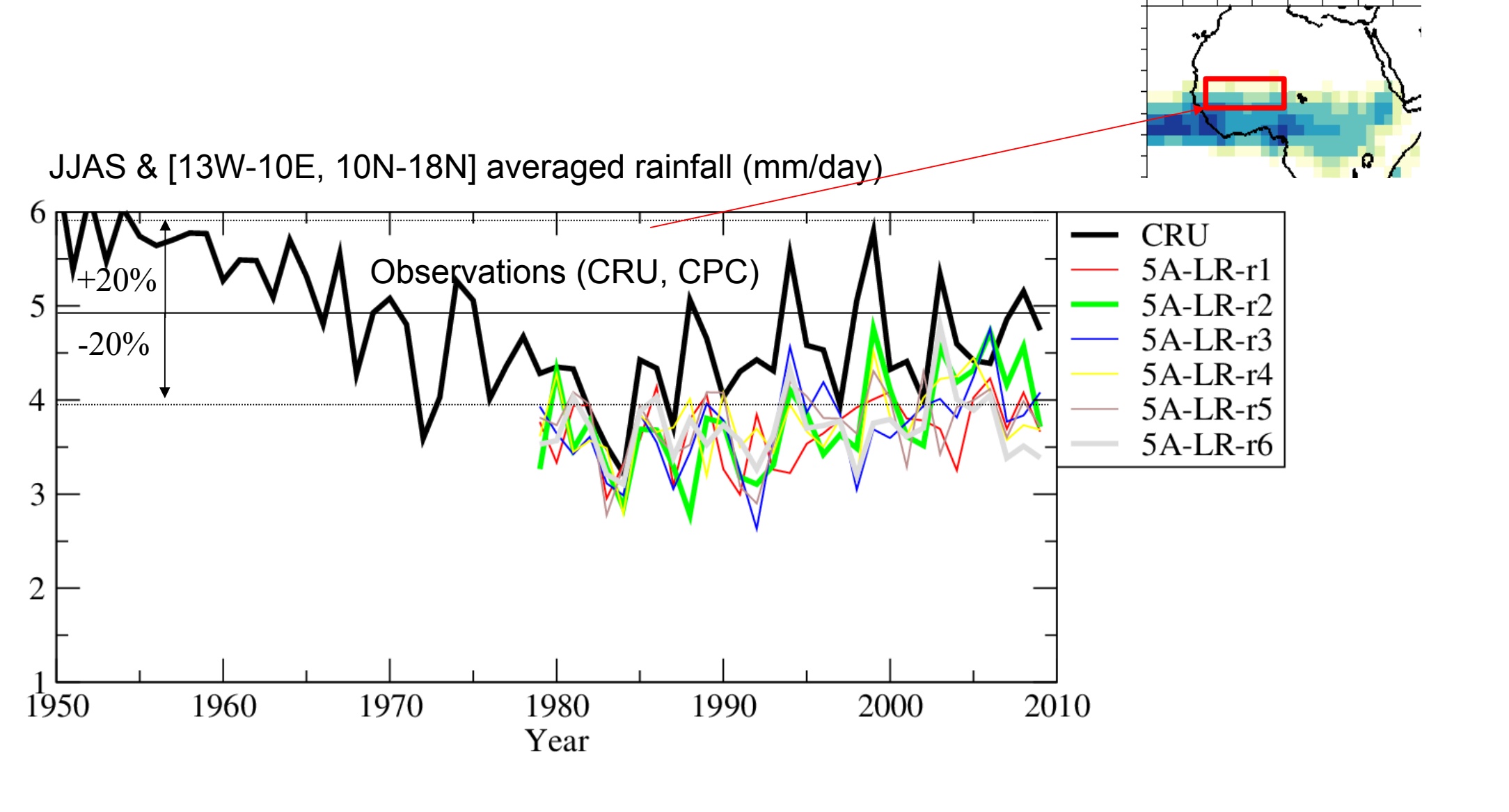
JJAS mean biases in JJAS mean T2m (/CRU) 1980-1999 (K) Imposed-SST (amip) simulations

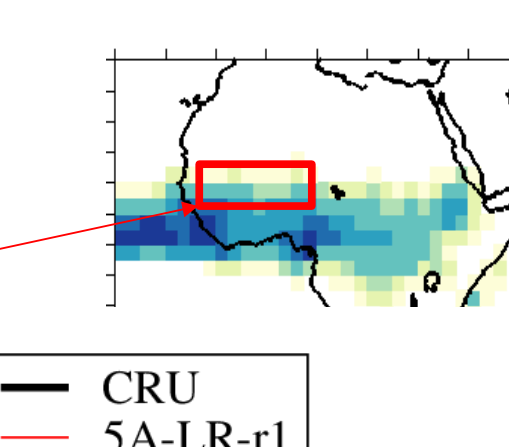
0° . 20°E MRI—CGCM3



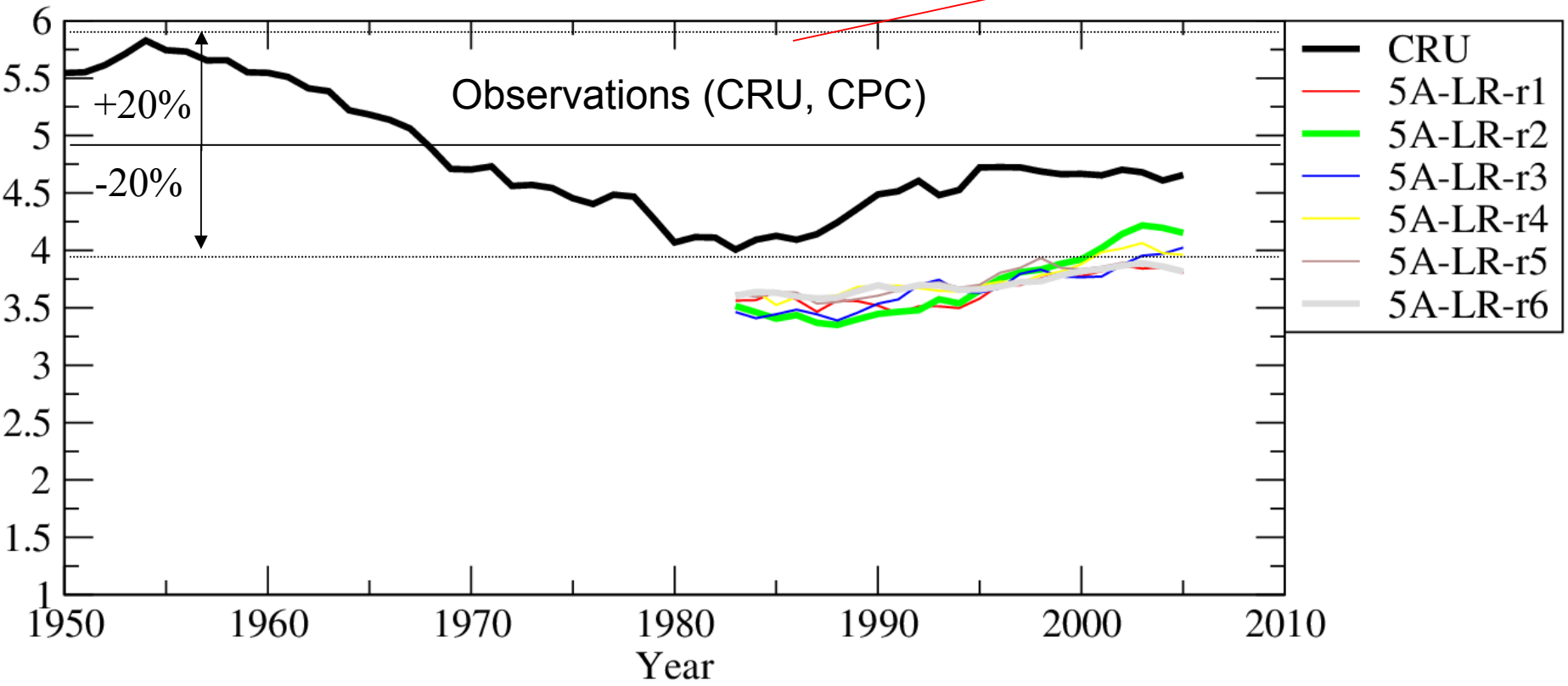
JJAS mean outgoing (reflected) SW radiation top-of-atmosphere 1980-1999 (W/m²)

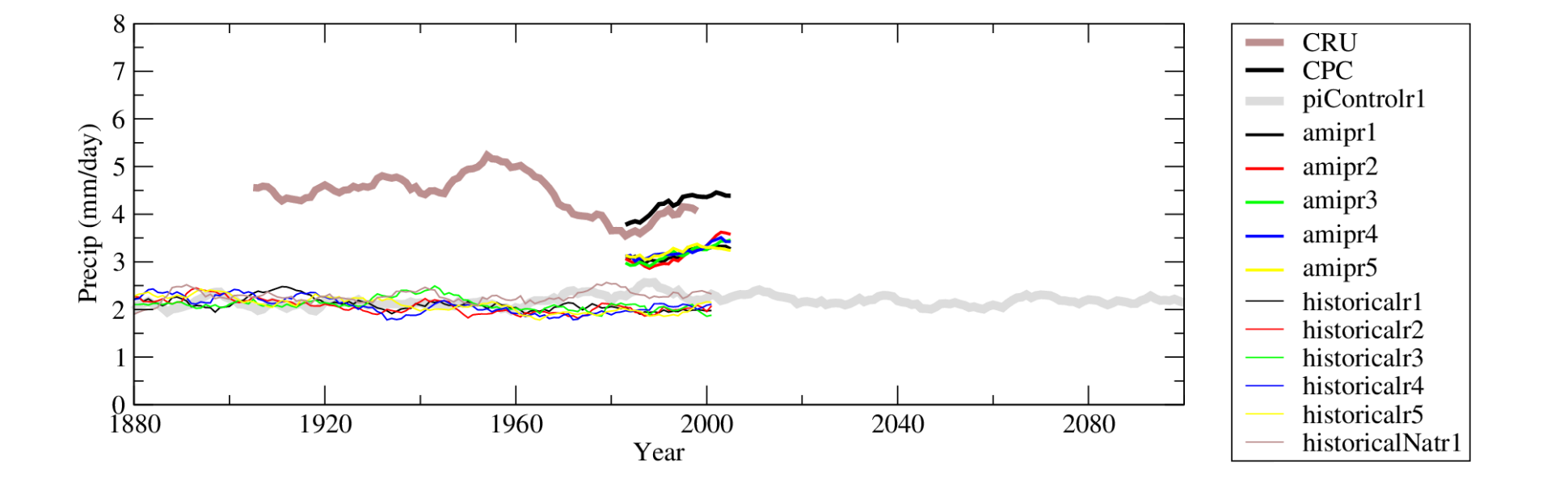


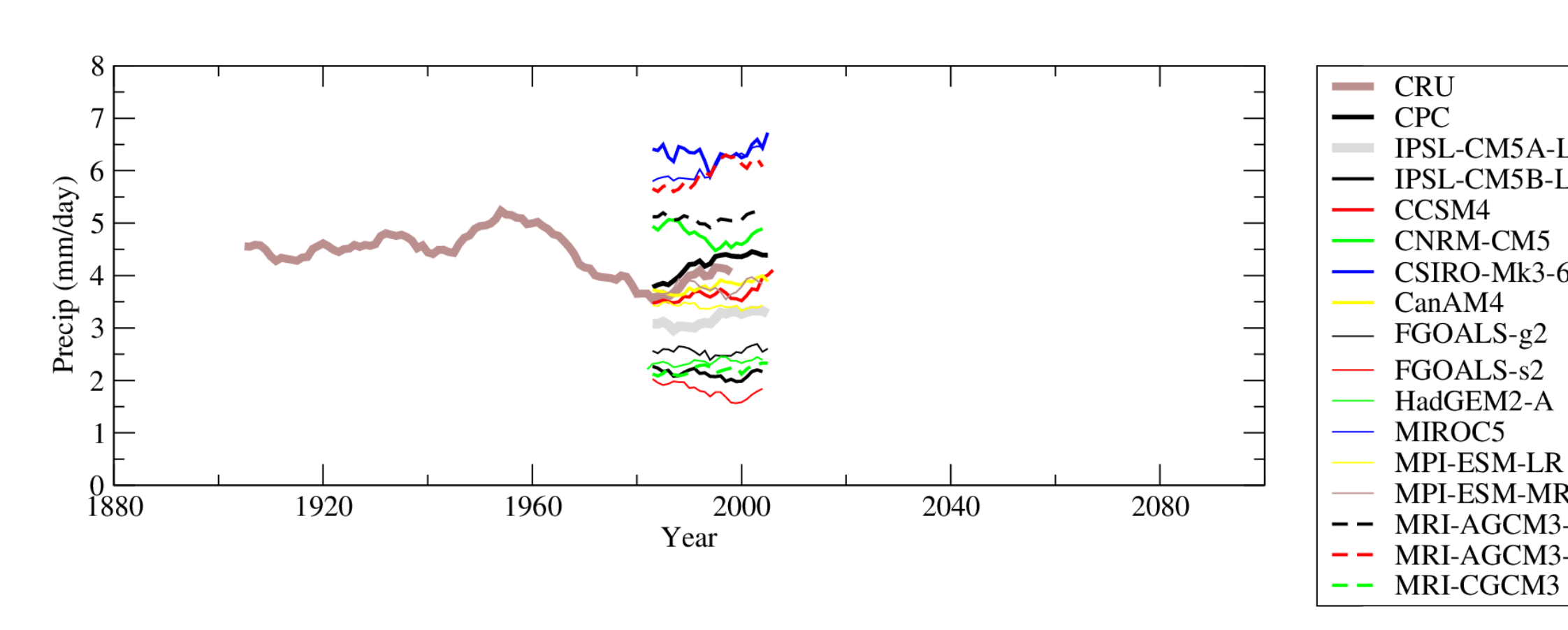


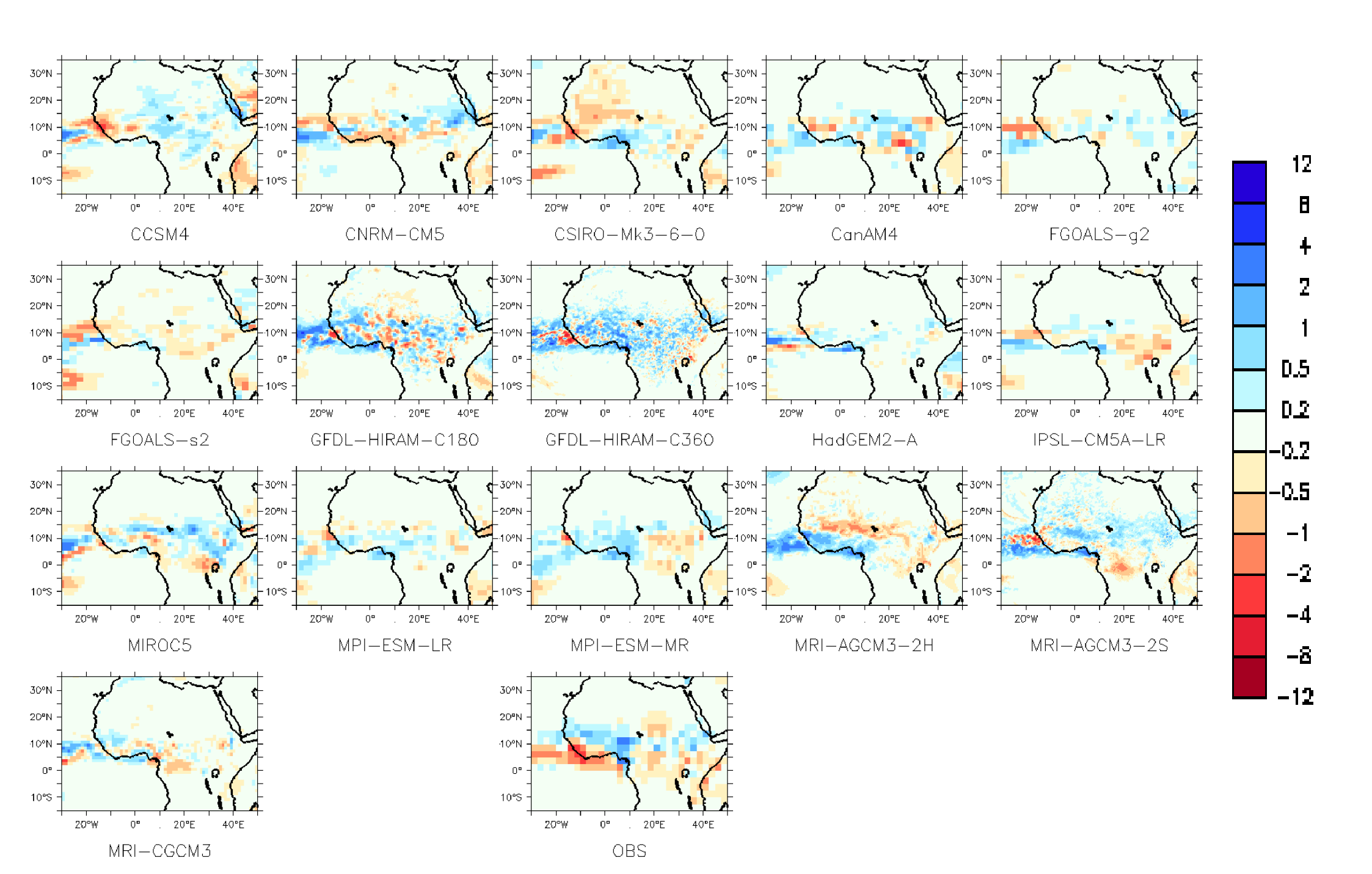


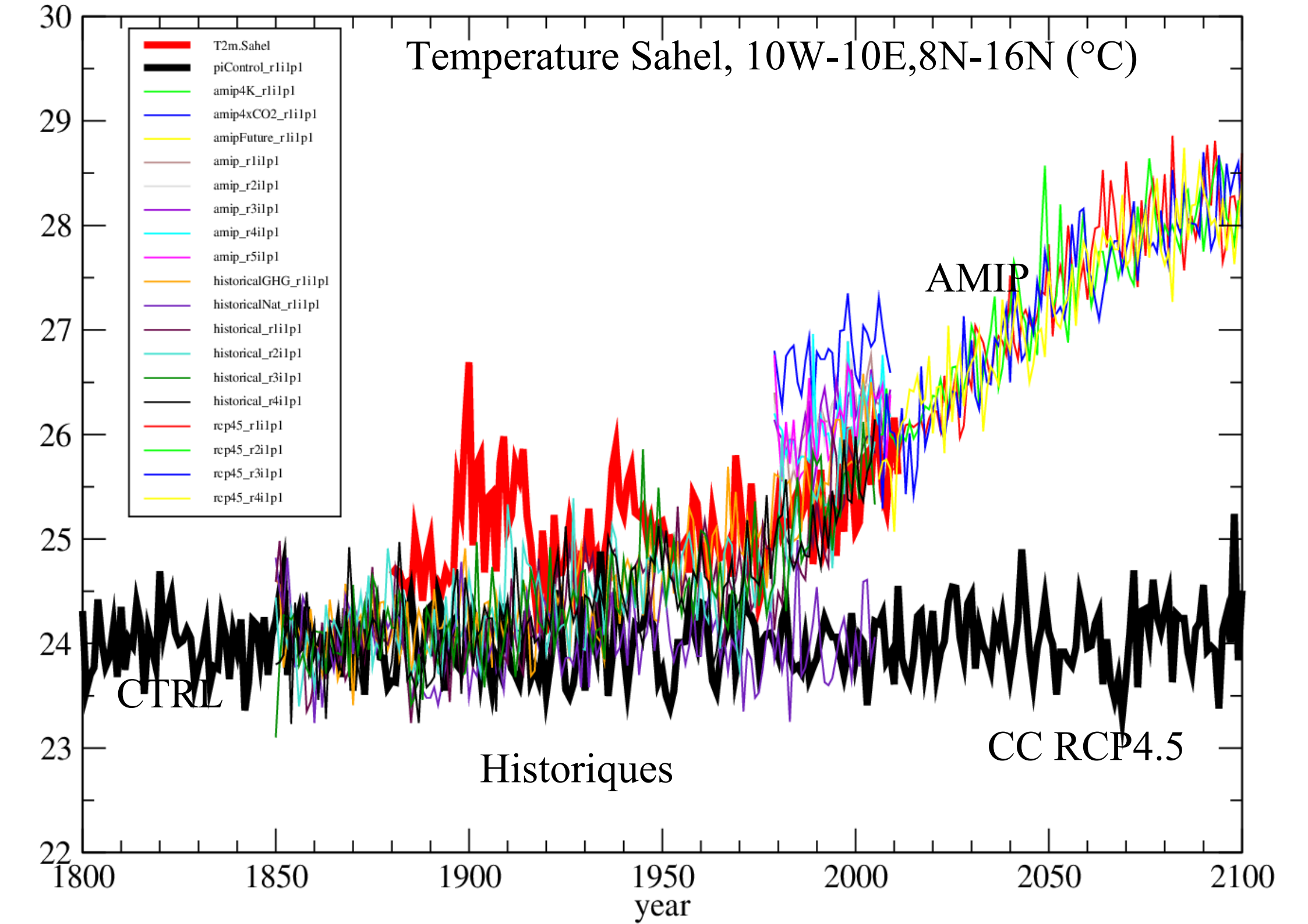
JJAS & [13W-10E, 10N-18N] averaged rainfall (mm/day)

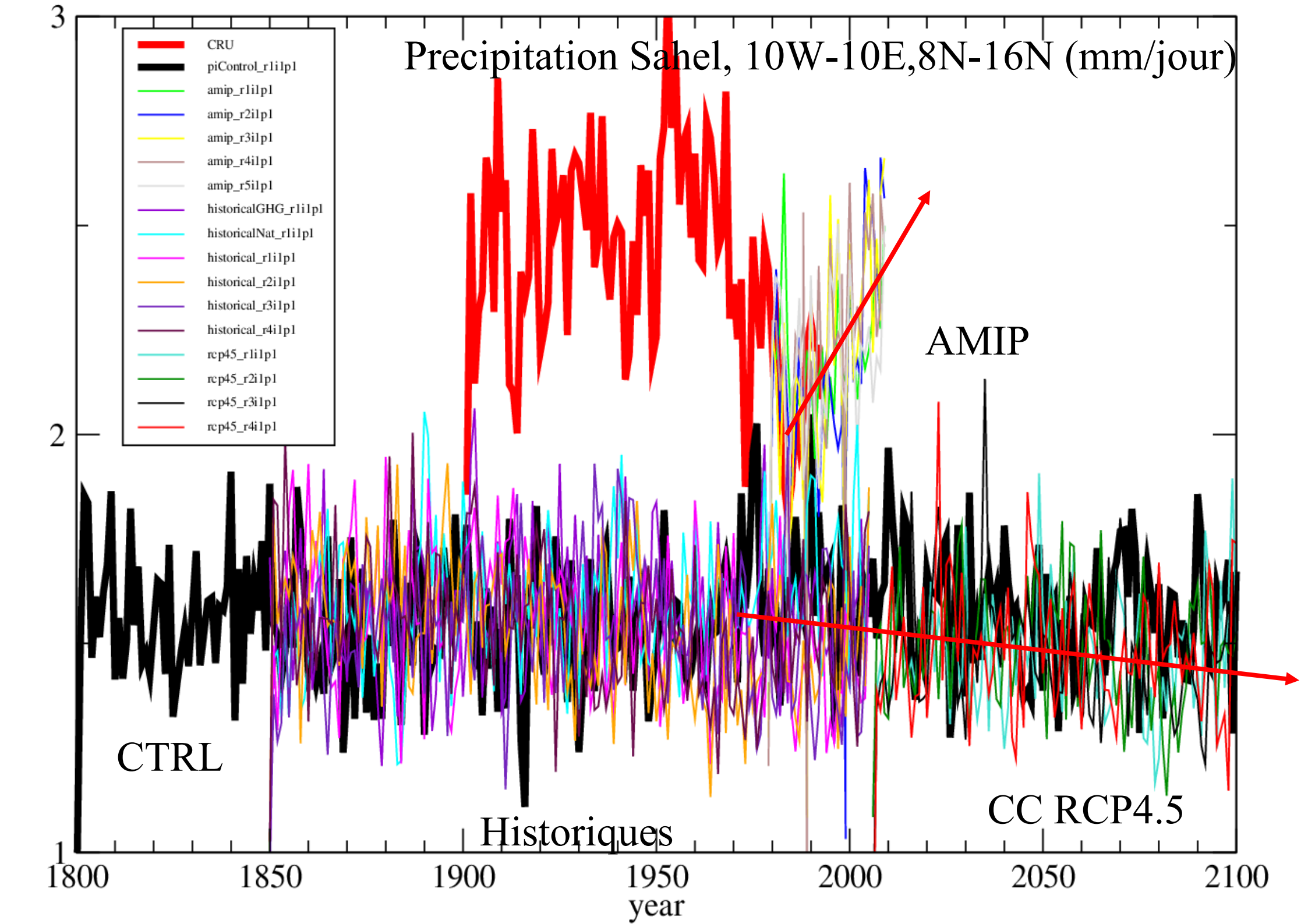












*A propos des variations climatiques au Sahel et des études d'impact

- ★ Signaux climatiques de grande échelle (1000 km).
- * Agriculture sensible au premier ordre au cumul et à la saisonnalité des pluies, températures, flux
- ★ Besoin de grands ensembles pour les études décennales ouest africaines (Camiade & Terray, 2006)
- * Il n'y a pas de raison de "croire" davantage les simulations Cordex que CMIP5
 - * Quelle valeur ajoutée par la petite échelle ? Distribution des pluies ? Extrêmes ? Couplages locaux (pluie/hydro par exemple) ?
- * Que perd on en ne prenant pas en compte le couplage avec la grande échelle ? Ambiguïté : descente d'échelle ou climat régional ? Guidage (spectral ou non) ou non ?

A propos des simulations avec le modèle de l'IPSL

- * Choix de la nouvelle physique pas évident. Motivé par les processus plus que par le climat.
- ★ De l'espoir pour les modèles avec physique «paramétrée » (confirmation)
- ★ Simulations Cordex 5B proches des simulations globales.
- ★ Plutôt un meilleur état moyen des précipitations, mais peut-être par hasard.
- ★ Une part sans doute trop importante des pluies explicites (orages point de grille)
- ★ Des simulations instables (plantages plus d'une fois par an en moyenne).

Au delà

- * Continuer à « améliorer la physique » (fermeture stochastique, Hydrologie 11 couches, ...)
- ★ Utiliser les résultats de la campagne AMMA (stations, campagnes en mer, ...)
- ★ Un cadre pour améliorer le modèle (maille représentative) → configuration plus légère et ciblée.
- * Utiliser des modèles d'impact pour la caractérisation des sorties CMIP5/Cordex.